Suinocultura Sustentável na Era do Aquecimento Global: Tendências no mercado de suínos com foco em instalações e ambiência





Aquecimento Global



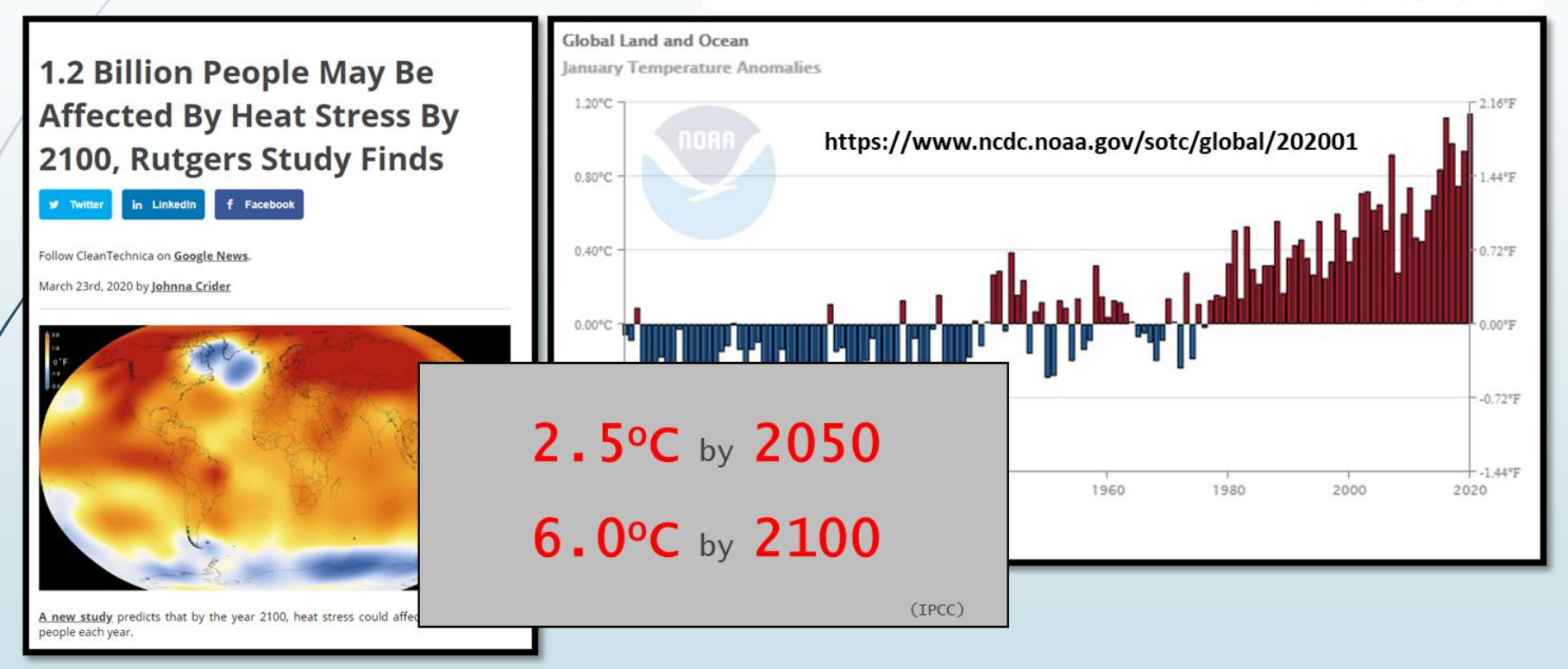
Global average temperature change HadCRUT (1850-) NOAA (1850-) (°C) Berkeley Earth (1850-) NASA GISTEMP (1880-) +1.0 Japan Met JRA-55 (1958-) ECMWF ERA5 (1979-) +0.5 0 -0.5 1850 1875 1900 1925 1950 1975 2000 2025



HEAT STRESSGLOBAL WARMING

The global land and ocean surface temperature for January 2020 was the highest in the 141-year record, with a temperature departure from average of 1.14°C (2.05°F) above the 20th century average.

NOAA (2020 Annual report)







A Sibéria queima e a Groenlândia derrete

Uma combinação de fatores alimenta vorazmente a mudança climática

Mundo



Índia bate recorde de temperatura com 52.3°C em Nova Délhi

Saúde / Ciência

Cientistas encontram 13 'vírus zumbis' de calotas polares descongeladas com 48 mil anos e fazem alerta para riscos

O degelo irreversível do permafrost, causado pelo aquecimento global, está liberando vírus que vieram de fezes de mamutes congeladas e do estômago de lobos siberianos

Por O GLOBO — São Paulo

06/06/2023 13h53 · Atualizado há 4 meses

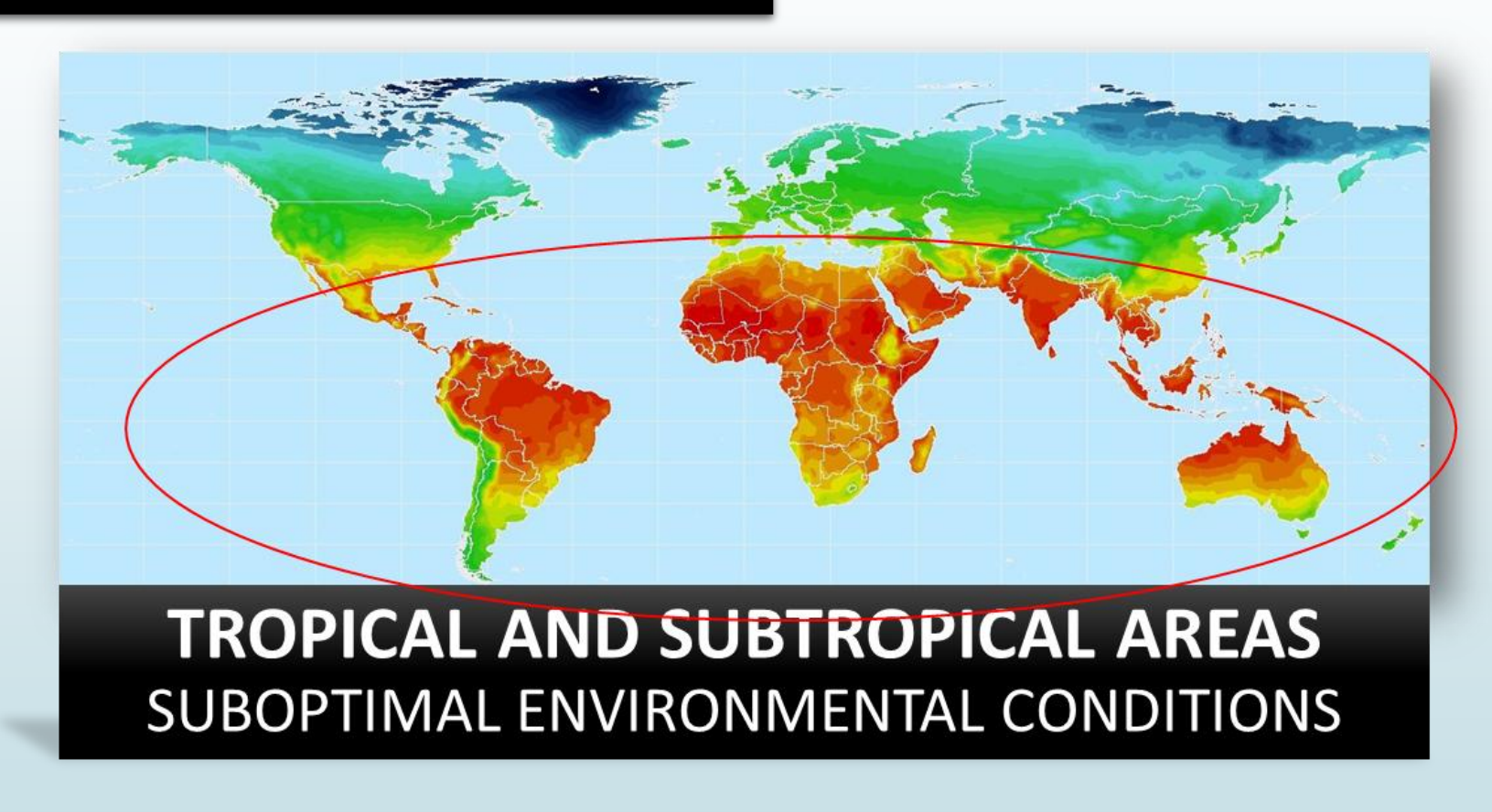






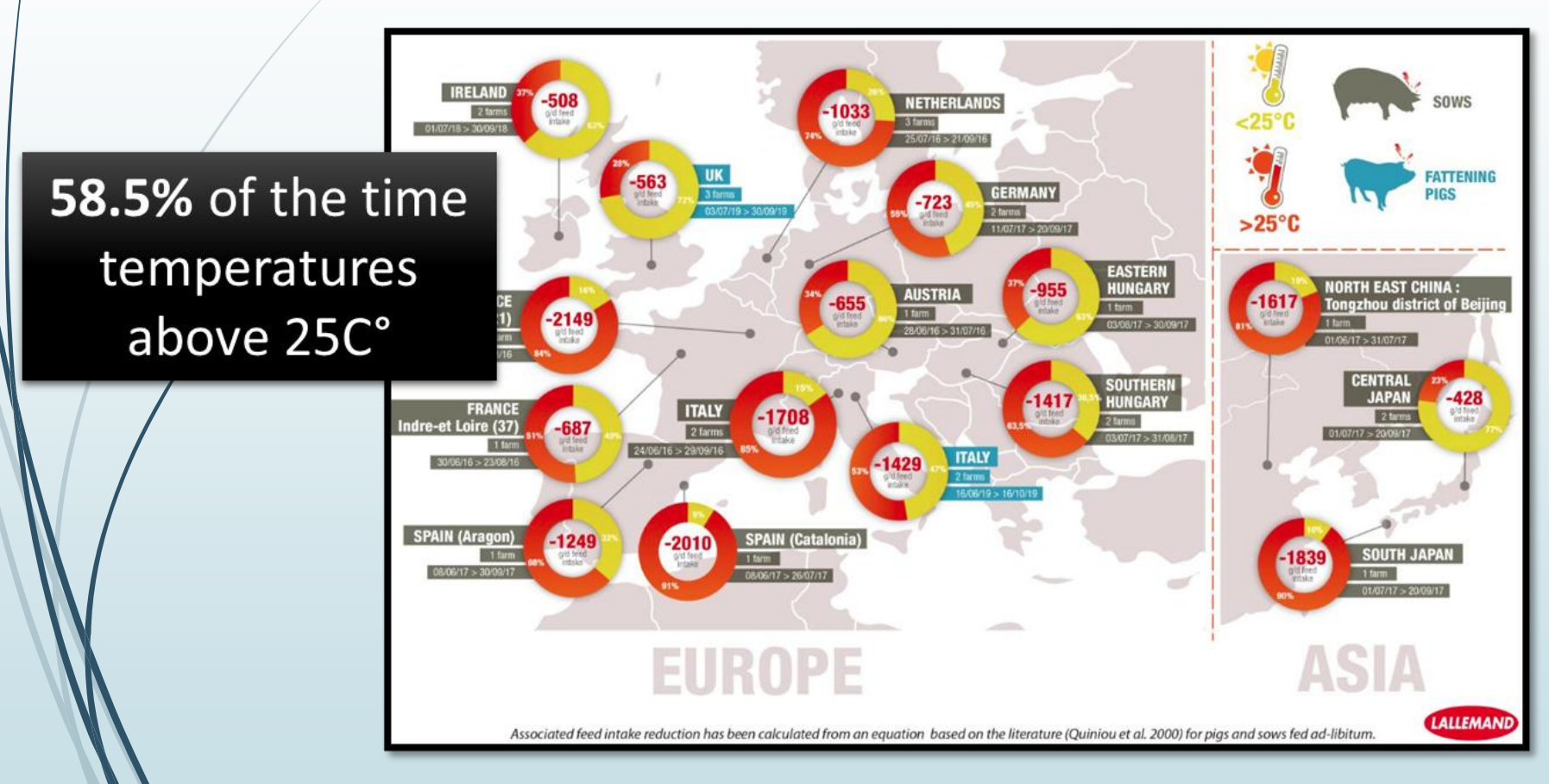


52.4% of the time above 25C° **30.5%** of the time above 30°C *Pig Production Unit - Silva et al.*





Heat stress is not exclusive only to Tropical and Subtropical regions!!!



Economia



Mais de 70% dos fazendeiros sentem na terra e no bolso os efeitos das mudanças climáticas

Pesquisa mostra que 71% dos produtores rurais já sentiram impactos inclusive financeiros dos extremos do clima

Por João Sorima Neto e Vinicius Neder — São Paulo e Rio

15/10/2023 04h30 · Atualizado há 2 horas







Nos últimos anos, perdas anuais devido ao <u>estresse</u> <u>térmico por calo</u>r resultaram em perdas econômicas totais que variaram entre US\$ 1,9 e US\$ 2,7 bilhões por ano nas indústrias de laticínios, carne bovina, suína e aves dos EUA.

N.R. St-Pierre (2019)



O Clima é o Primeiro Fator limitante para a Produção Eficiente de Suínos



Heat stress: How much does it drain your pigs and profits?

Most people in the pork industry know the toll heat stress takes on pigs: reduced performance, a compromised gastrointestinal system, chronic disease, reduced feed intake and higher mortality rates.

🛱 18 June 2018 🕒 6 minute read 💢 By: 5m Publishing

North America

First in a series

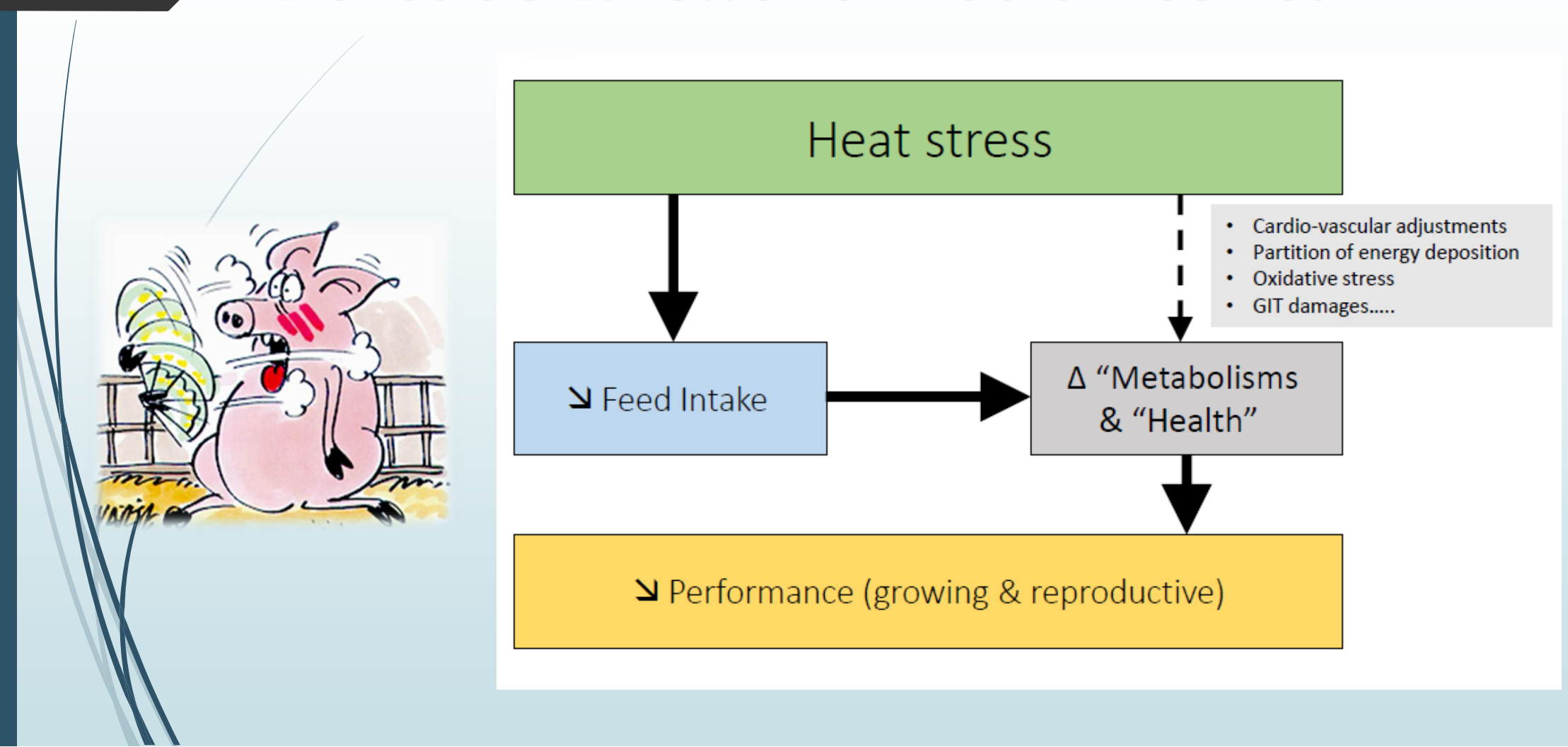
Less known are the staggering financial losses wrought by heat stress on producers and the pork industry in general. Each year, heat stress costs US pig farmers about \$900 million in revenues — about twice the amount lost as a result of the porcine reproductive and respiratory syndrome virus, according to an estimate by Steven Pollmann, PhD, a livestock consultant and former president of western operations for Murphy-Brown LLC, a division of Smithfield Foods.

These losses include impaired sow productivity as well as losses from grow-finish pigs. Pollmann estimates that on average producers lose \$50 to \$60 per animal each year due to heat stress.1

Source: The Pig Site: Pollmann, D. S.. Seasonal effects on sow herds: industry experience and management strategies. J Anim Sci. 2018;88(Suppl. 3):9 (Abstr).

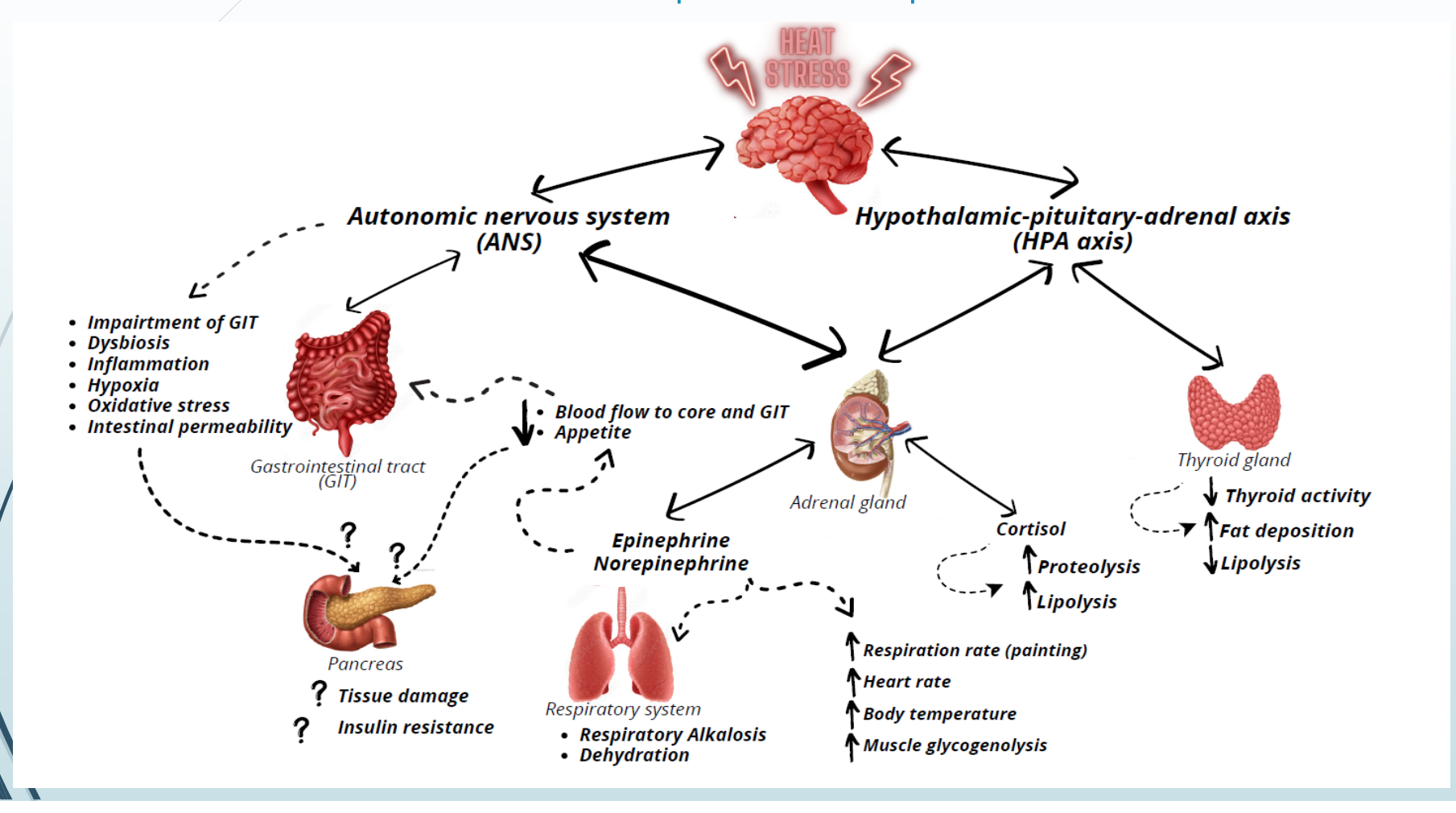


Efeitos do Estresse Térmico em Suínos



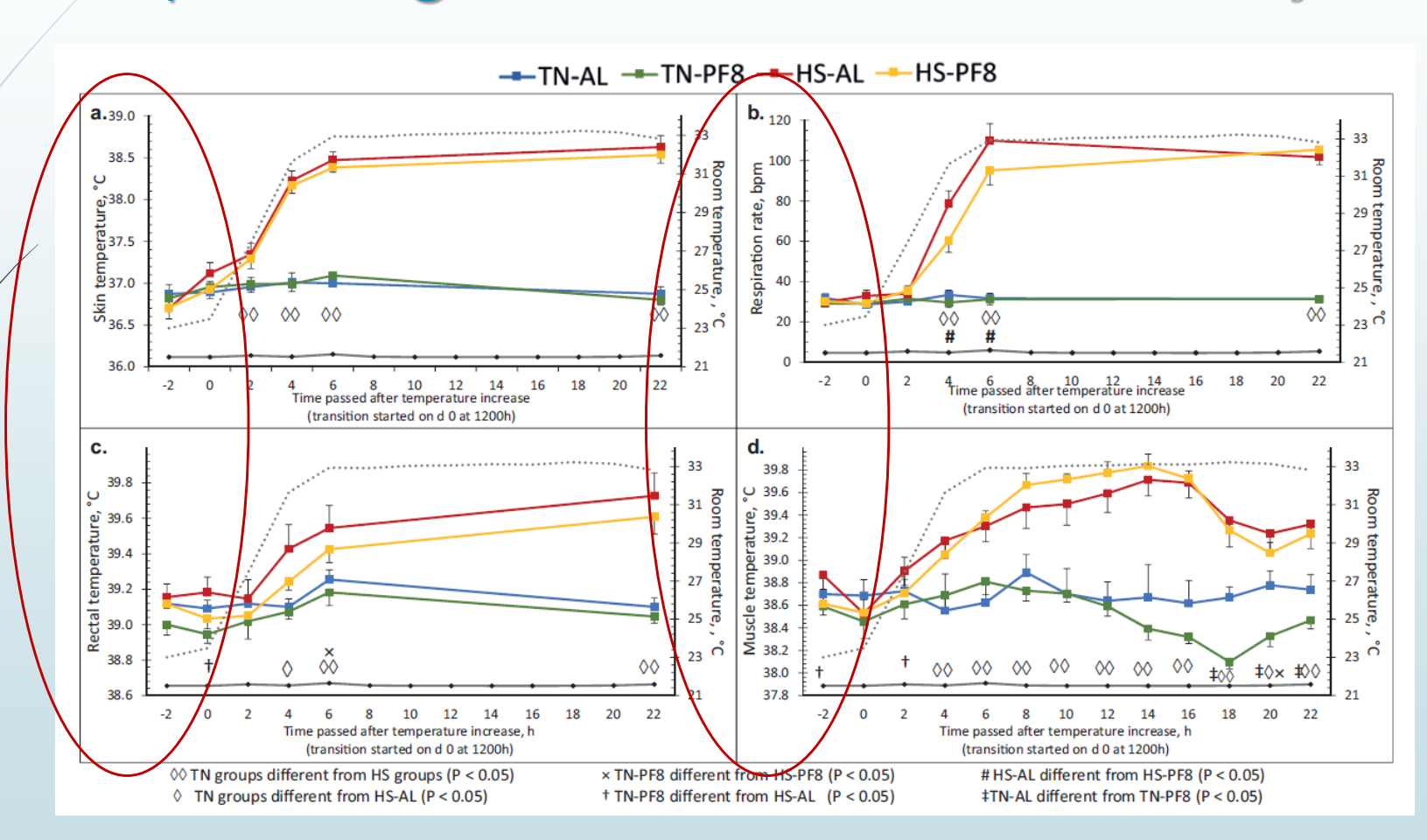


Respostas termoregulatórias e de aclimatação térmica em função do estresse térmico sobre o sistema nervoso autonomo e o eixo hipotalamo-pituitaria-adrenal





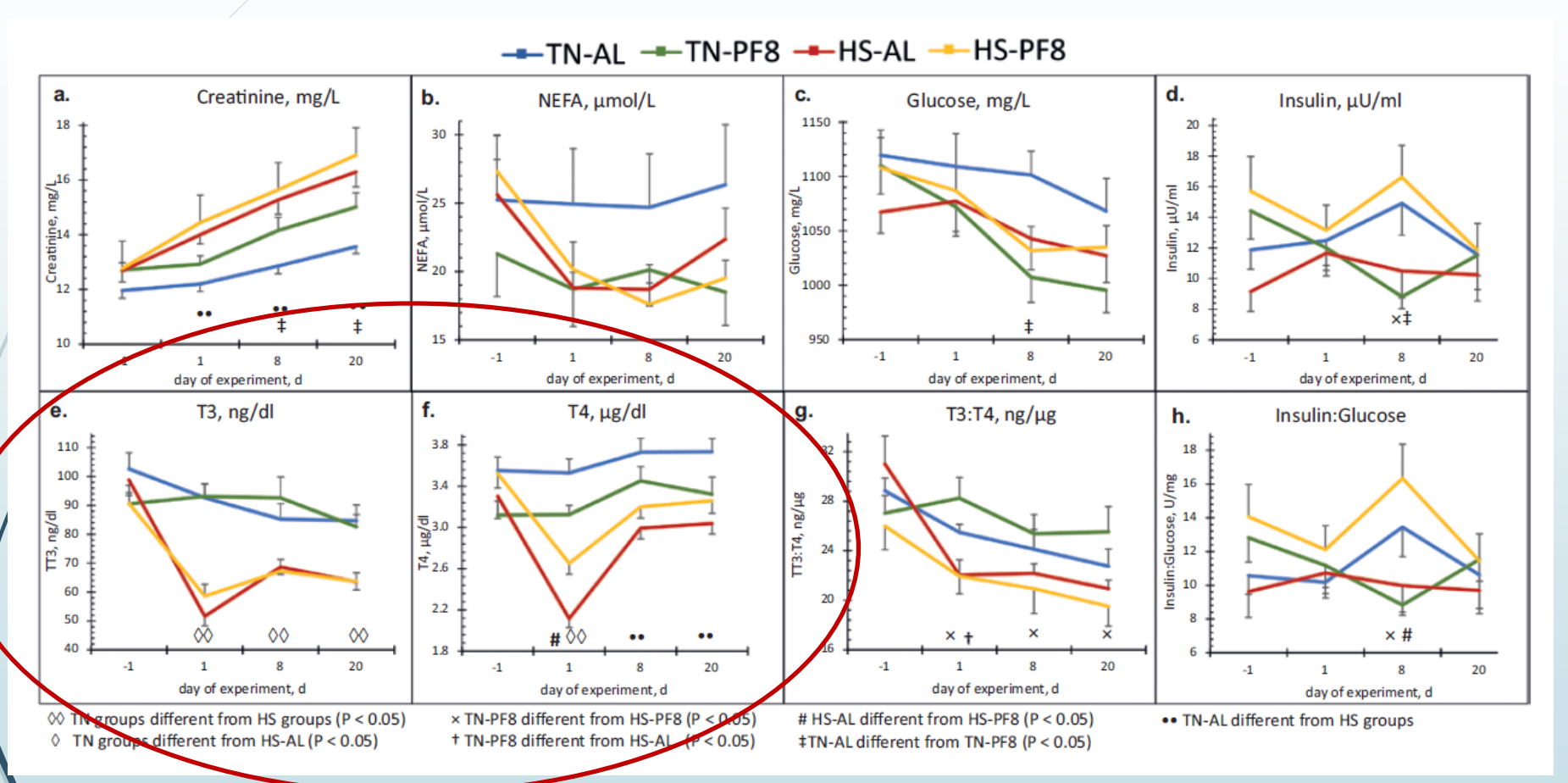
Efeito do ambiente climático e manejo alimentar na resposta aguda de suínos em terminação



Serviento et al. (2020)

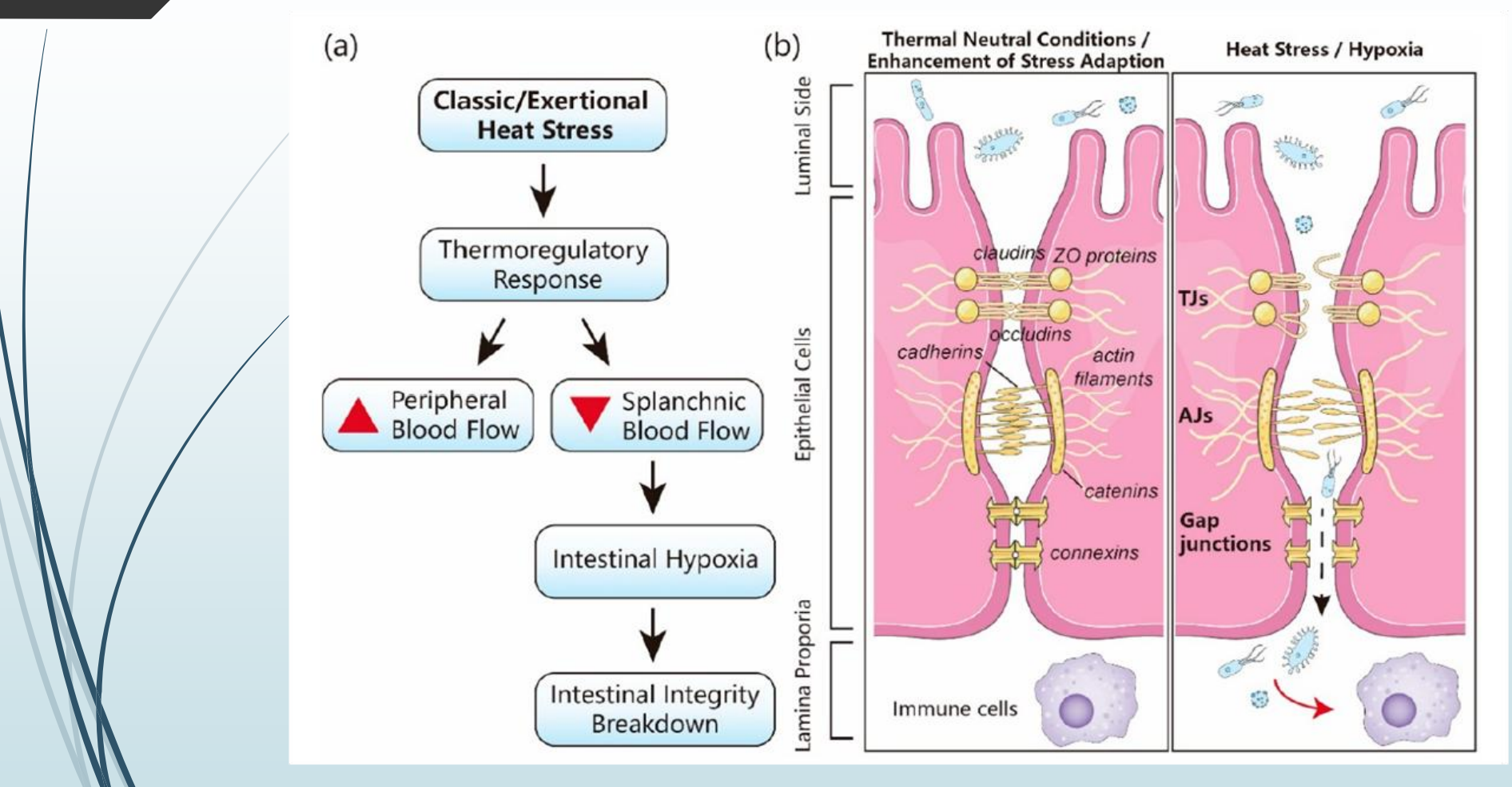


Efeito do ambiente climático sobre os metabólitos plasmáticos





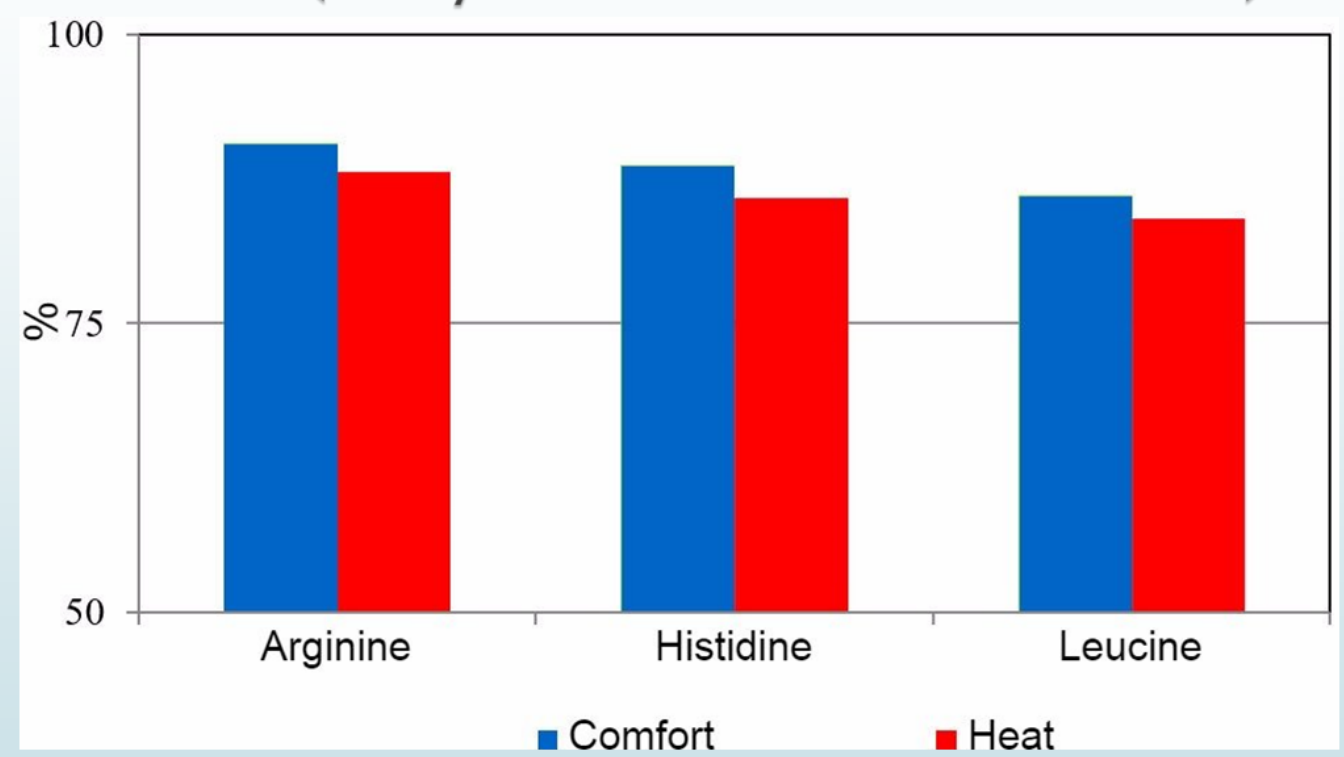
Heat stress increases gut permeability by two-fold



Adapted from Lian et al. (2020)



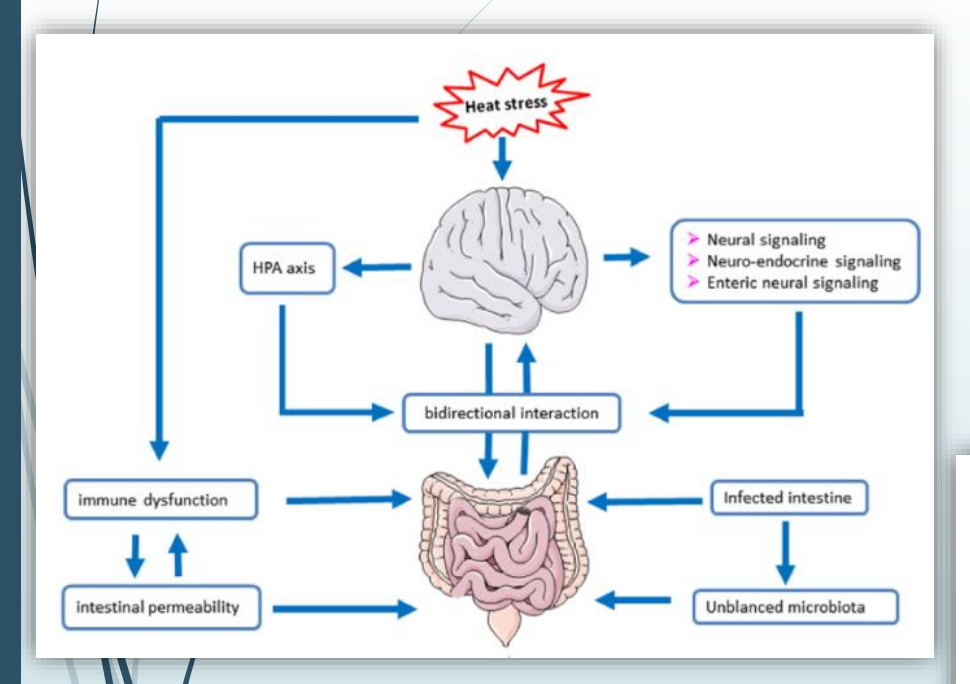
Apparent amino acid digestibility in pigs exposed to comfort ambient temperature (24 \pm 2 °C) or heat stress (daily variation of 30 to 42 °C)



Adapted from Trejo and Ramirez (2017)



Eixo microbiota-intestino-cérebro sob estresse térmico



Adaptado de Wen et al. (2021)

> J Appl Microbiol. 2020 Mar;128(3):840-852. doi: 10.1111/jam.14504. Epub 2019 Dec 1.

Effects of acute heat stress on intestinal microbiota in grow-finishing pigs, and associations with feed intake and serum profile

Y Xiong ¹, H Yi ¹, Q Wu ¹, Z Jiang ¹, L Wang ¹

Affiliations + expand

PMID: 31671233 DOI: 10.1111/jam.14504



Contents lists available at ScienceDirect

Animal Nutrition

journal homepage: http://www.keaipublishing.com/en/journals/aninu/



Original Research Article

Heat stress-induced mucosal barrier dysfunction is potentially associated with gut microbiota dysbiosis in pigs



Bing Xia a, 1, Weida Wu b, 1, Wei Fang a, c, Xiaobin Wen a, Jingjing Xie a, Hongfu Zhang a, *

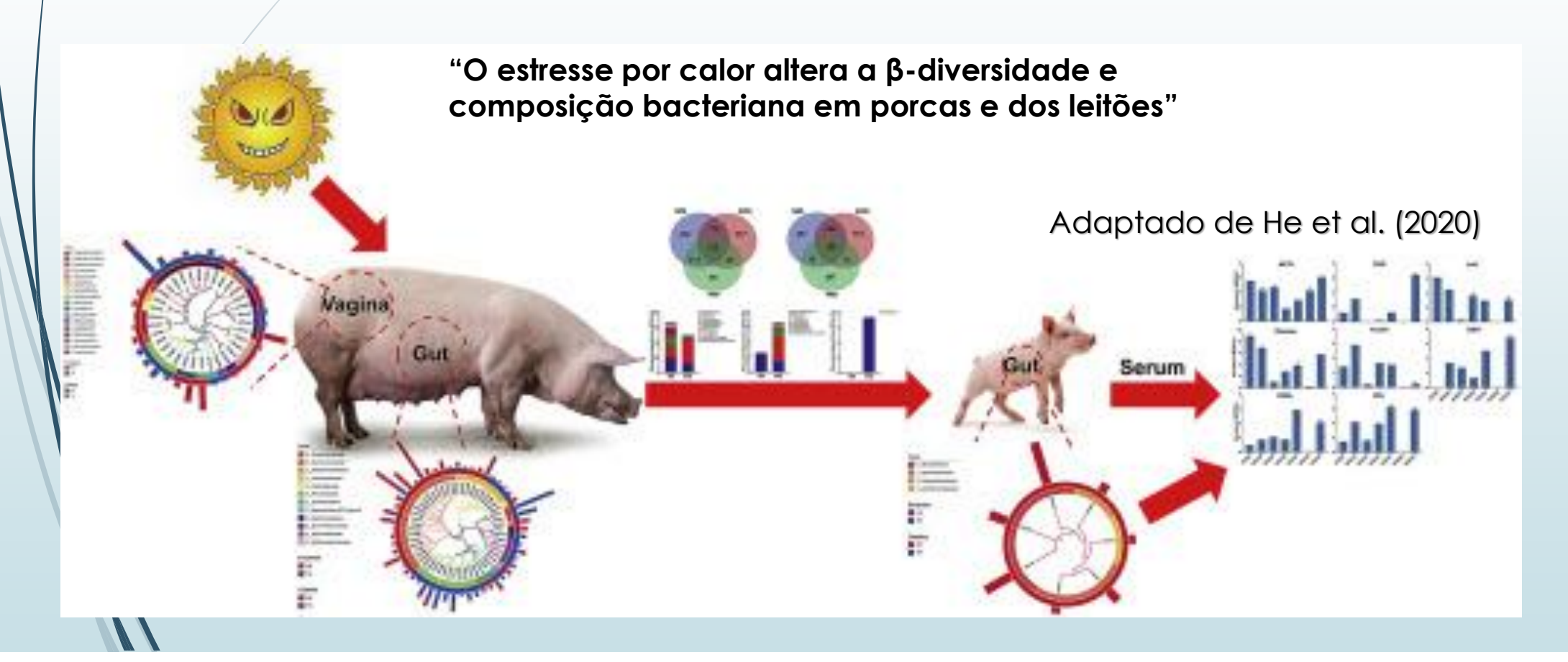
^a State Key Laboratory of Animal Nutrition, Institute of Animal Sciences, Chinese Academy of Agricultural Sciences, Beijing, 100193, China

b Institute of Quality Standard and Testing Technology for Agro-Products, Key Laboratory of Agro-Product Quality and Safety, Chinese Academy of Agricultural Sciences, Beijing, 100081, China

^c Academy of State Administration of Grain, Beijing, 100037, China

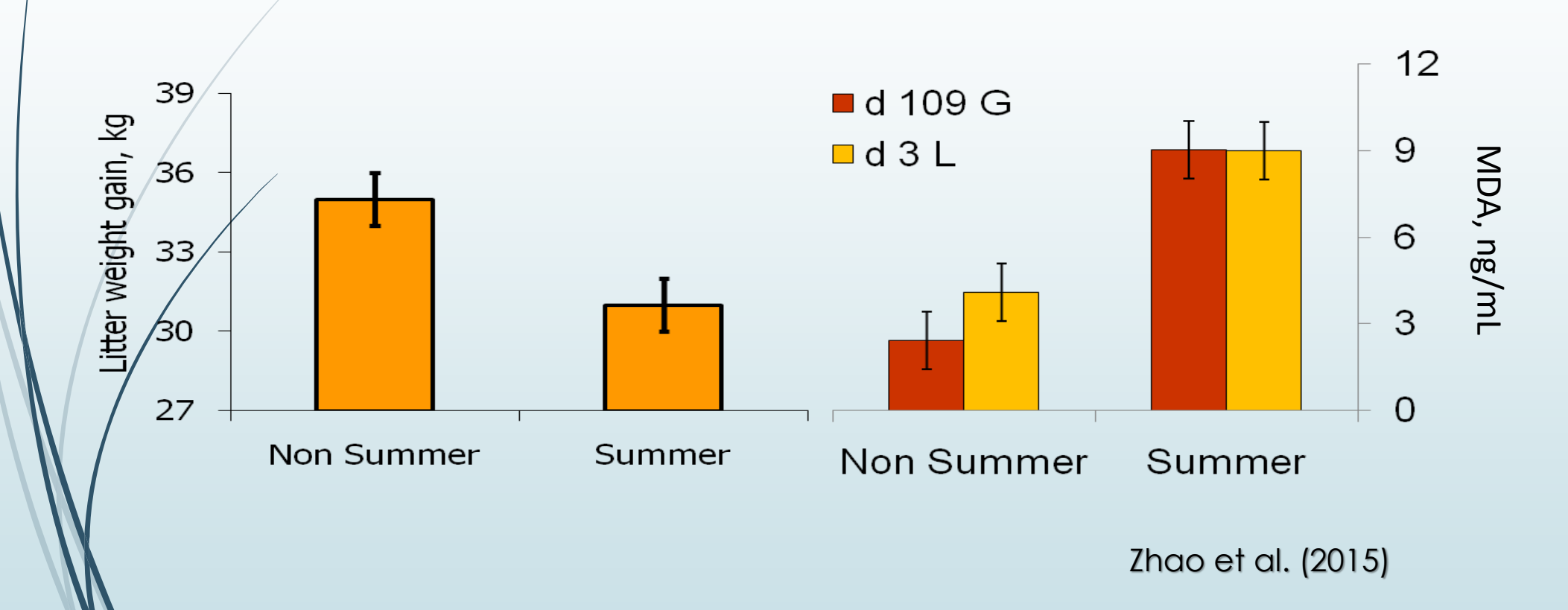


O estresse térmico durante o final da gestação interrompe a transmissão microbiana materna com alteração na colonização microbiana intestinal e nos metabólitos séricos da progênie



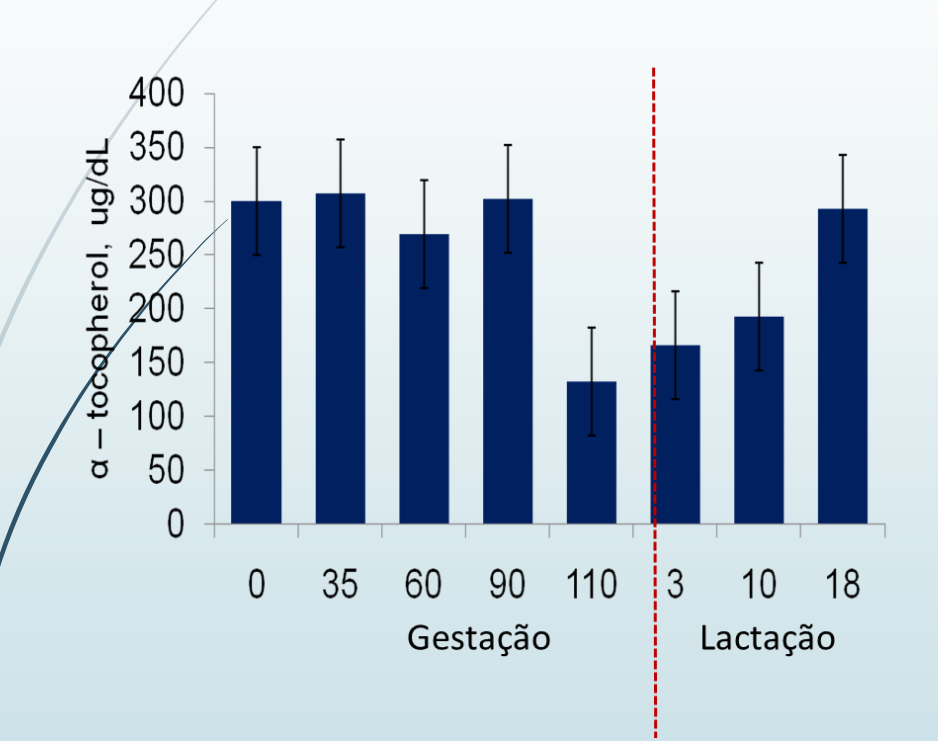


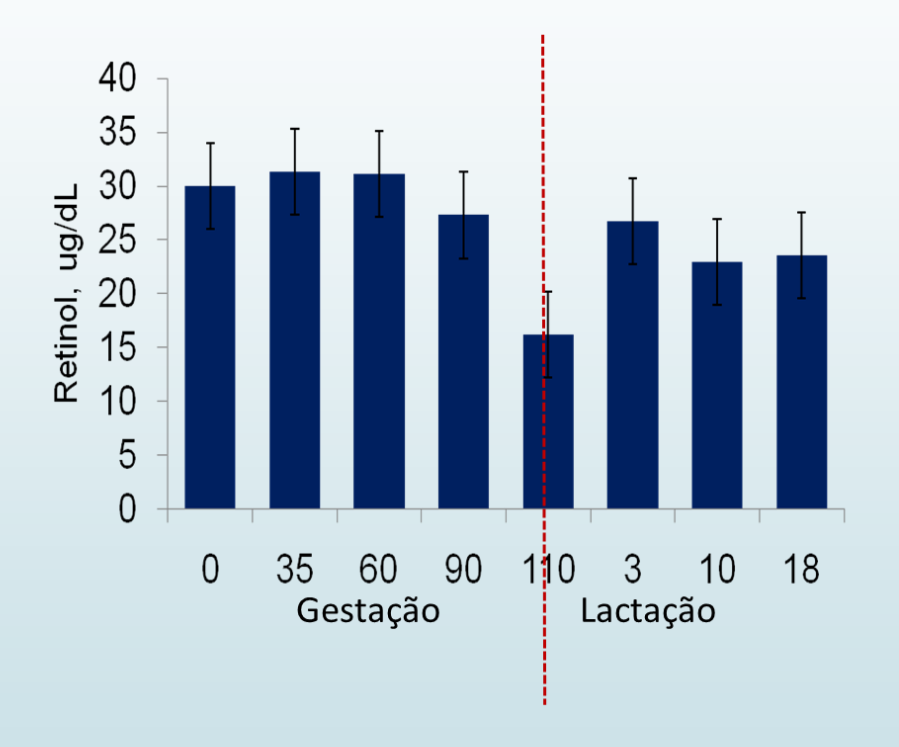
O estresse calórico contribui para um maior dano oxidativo no metabolismo





Com o aumento do estresse oxidativo, a disponibilidade de antioxidantes diminui em porcas durante a gestação e lactação





Berchieri-Ronchi et al. (2011)



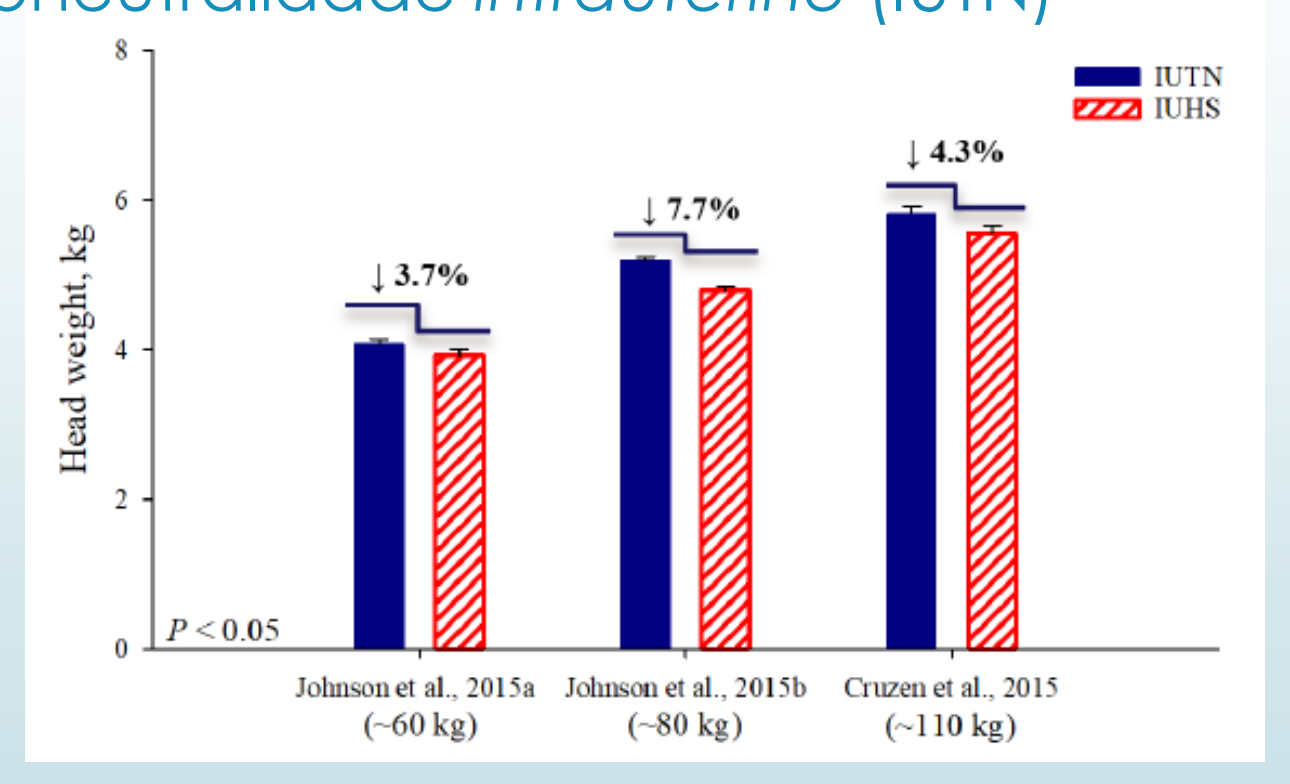
Efeitos do estresse calórico gestacional sobre a desempenho da progênie ao abate

| Studies | Thermal exposure of sows | Litter size | Birth weight | Progeny environment | Growth performance | Carcass fatness | |
|-------------------------|-----------------------------------|---------------|---------------|--|------------------------|--|--|
| Boddicker et al. (2014) | 28–34 °C, first half gestation | → | → | Thermoneutral until 12 weeks | ADFI→ ADG→ | Backfat†17% | |
| Boddicker et al. (2014) | 28-34 °C, second half gestation | \rightarrow | \rightarrow | Thermoneutral until 12 weeks | G: F→ ADFI→ ADG→ | Backfat→ | |
| Johnson et al. (2015a) | 27-35 °C, whole gestation | → | 1179/ | Thormonoutral until 60 los | G: F→ | Linid% | |
| Johnson et al. (2015b) | 28-34 °C, whole gestation | NA | _ | acto ' - 32% ganh | o lipídic | 2%, ↓118 | |
| Cruzen et al. (2015) | 28-34 °C, whole gestation | → | | - 12% perdo | | | |
| Serviento et al. (2020) | 28–34 °C, days 9–109 gestation | NA | NA | Thermoneutral until 104 kg | ADFI→ ADG→ G: F→ | Backfat→ Perirenal fat%→ | |
| Serviento et al. (2020) | 28–34 °C, days 9–109 gestation | NA | NA | Heat stress 28-34 °C from 84-140 days age | ADFI→ ADG→ G: F→ | Backfat→ Perirenal fat%→ Lean meat% 2% | |
| Tuell et al. (2021) | 28-36 °C, days 11-59 gestation | NA | NA | Thermoneutral until 117 kg | NA | Backfat→ Perirenal fat%→ Loin area↓10% | |

Abbreviations: → = unchanged; ↑ = increased; ↓ = reduced; NA = data not available; ADFI = average daily feed intake; ADG = average daily gain; G:F = gain: feed.



Diferenças de peso para suínos submetidos a estresse térmico intrauterino (IUHS) em comparação com termoneutralidade intrauterino (IUTN)



Adaptado de Johnson et al. 2015a; Johnson et al., 2015b; e Cruzen et al., 2015



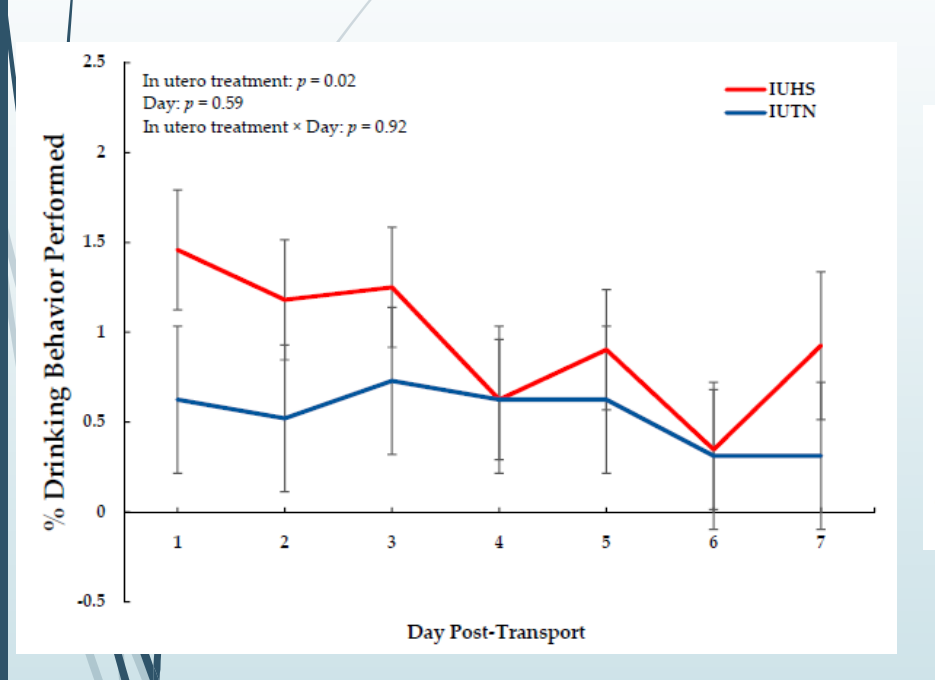
Efeito dos ambientes climáticos pré-natais e pós-natais nas características da carcaça e dos órgãos de suínos em crescimento

| Items | GTN-PTN | GTN-PHS | GHS-PTN | GHS-PHS | RSD ² | Statistics ³ |
|----------------------------------|--------------------|-------------------|------------|-------------------|------------------|-------------------------|
| No. of pigs | 12 | 12 | 12 | 12 | | |
| Slaughter BW (sBW), kg | 102.3ab | 103.6ª | 96.8bc | 93.7° | 5.6 | GE** |
| Hot carcass weight, kg | 80.8ª | 81.7ª | 77.0ab | 74.2 ^b | 4.5 | GE** |
| Carcass dressing, % | 79.1 | 78.8 | * Imr | | | |
| Carcass length, cm | 95.7ab | 97.4ª | | pacto | | |
| Head, % sBW | 4.47 ^{ab} | 4.31 ^b | | | | |
| Carcass composition ⁴ | | | -5% K | oeso de | abat | ' |
| Lean meat, % | 63.5ª | 63.4ª | | | | |
| Average BFT, mm | 18.7 ^{bc} | 17.0° | -4% r | endime | ento d | e lombo |
| Perirenal fat, g/kg sBW | 7.6ab | 7.0 ^b | | | | |
| Carcass cuts4, % cold carcass | wt | | -3% r | endime | ento d | e carne |
| Loin | 29.0ª | 29.2ª | 5/13 | 5/13 | 7,7 | <u> </u> |
| Ham | 26.8bc | 26.3° | 27.5ª | 27.1ab | 0.6 | PE*, GE** |
| Belly | 12.1 | 12.0 | 12.2 | 12.5 | 0.6 | sBW** |
| Backfat | 4.9^{ab} | 4.6 ^b | 4.9^{ab} | 5.4ª | 0.6 | GET, PE × GE*, sBW** |
| Organ wt., mg/kg BW | | | | | | |
| | 11.2ª | 9.8 ^b | 10.1ab | 10.8ab | 1.5 | PE × GE* |
| Hypothalamus | 11.2 | 5.0 | | | | |

Adaptado de Serviento et al. 2020



IUHS leitões podem apresentar comportamentos mais agressivos e estereotipados do que os leitões IUTN



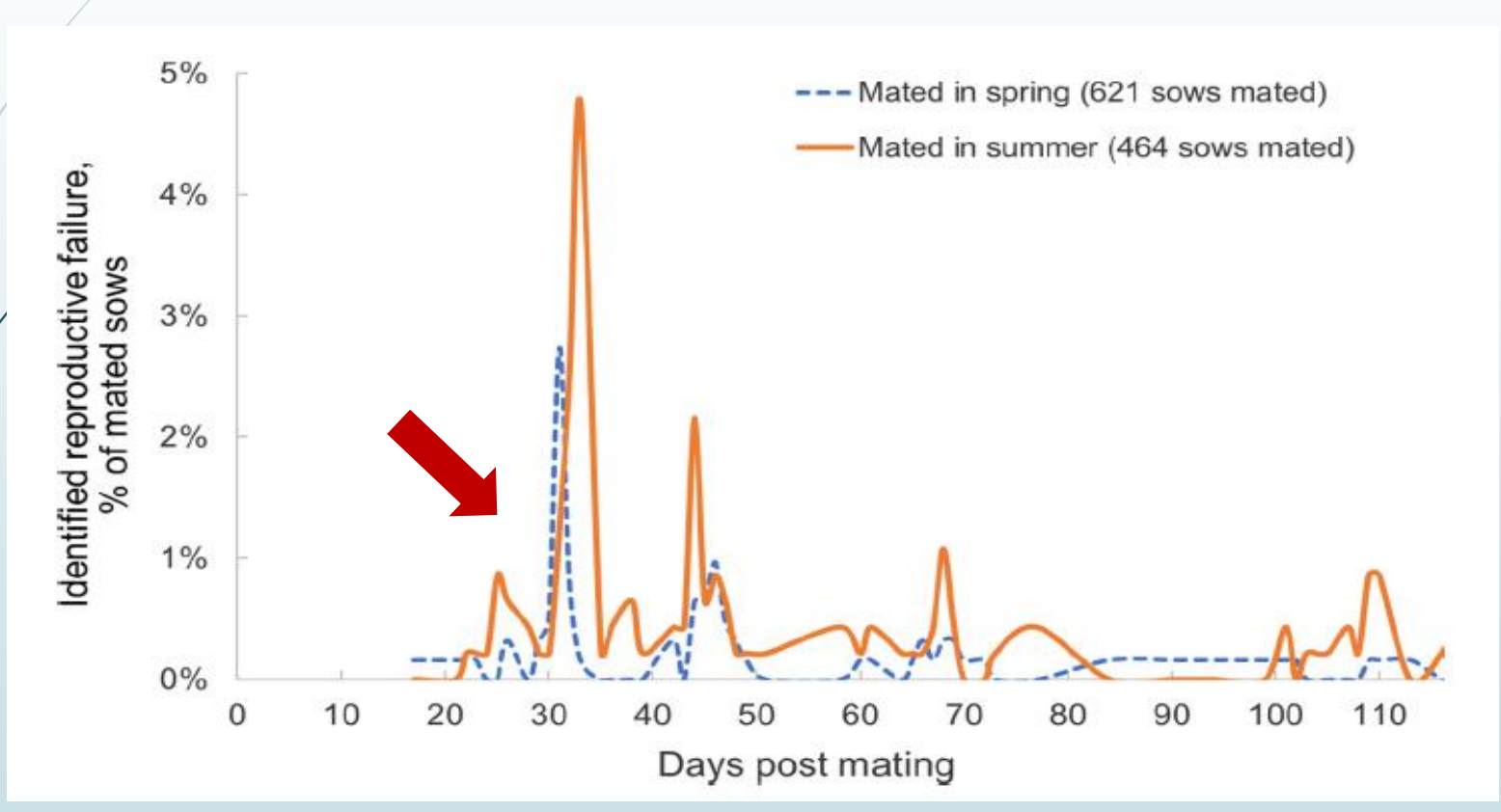
| Behavior | IUTN 1 | IUHS ² | SE ³ | <i>p</i> -Value |
|------------------------|--------|-------------------|-----------------|-----------------|
| Standing | 33.80 | 29.70 | 5.20 | 0.59 |
| Lying | 65.80 | 69.70 | 5.10 | 0.60 |
| Huddling | 46.20 | 52.10 | 5.60 | 0.48 |
| Eating 1 | 5.12 | 4.31 | 2.60 | 0.83 |
| Drinking | 0.54 | 0.96 | 0.09 | 0.02 |
| Aggression | 0.48 | 0.80 | 0.1 | 0.07 |
| Interaction with straw | 1.06 | 0.71 | 0.17 | 0.18 |

IUTN: in utero thermoneutral; IUHS: in utero heat stress; SE: average standard error across in utero treatments for each behavior. 1 Data were square root transformed for statistical analysis. Values presented in the table are back-transformed least squares means \pm their standard errors obtained via the delta method.

Adaptado de Byrd et al. 2019



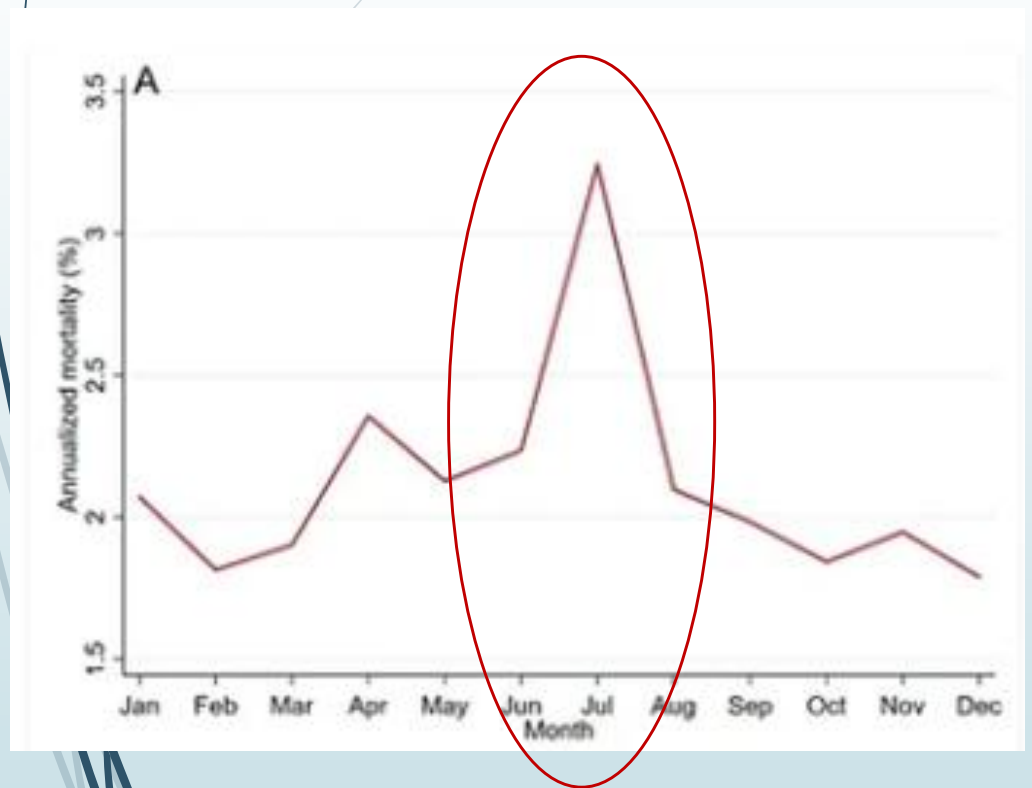
Perdas reprodutivas e infertilidade em fêmeas

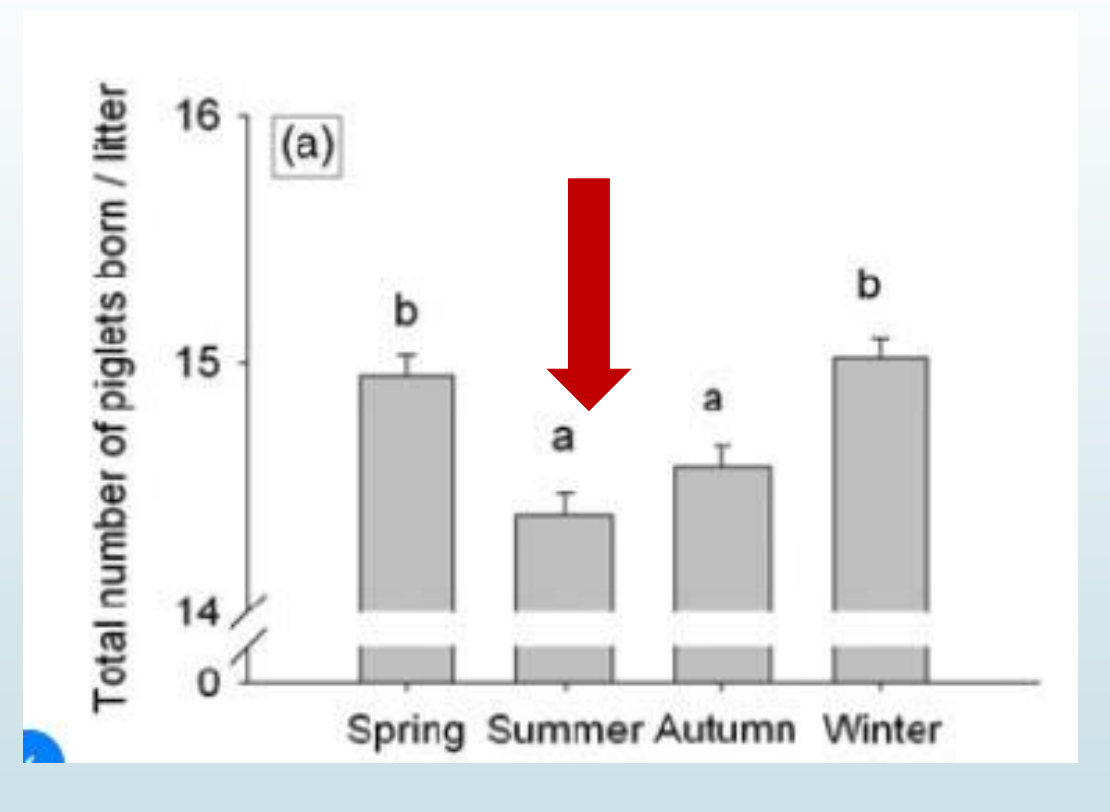


Adaptado de Liu et al. 2021



Maior mortalidade de porcas e menor produtividade no verão





Adaptado de Kikuti et al., 2020

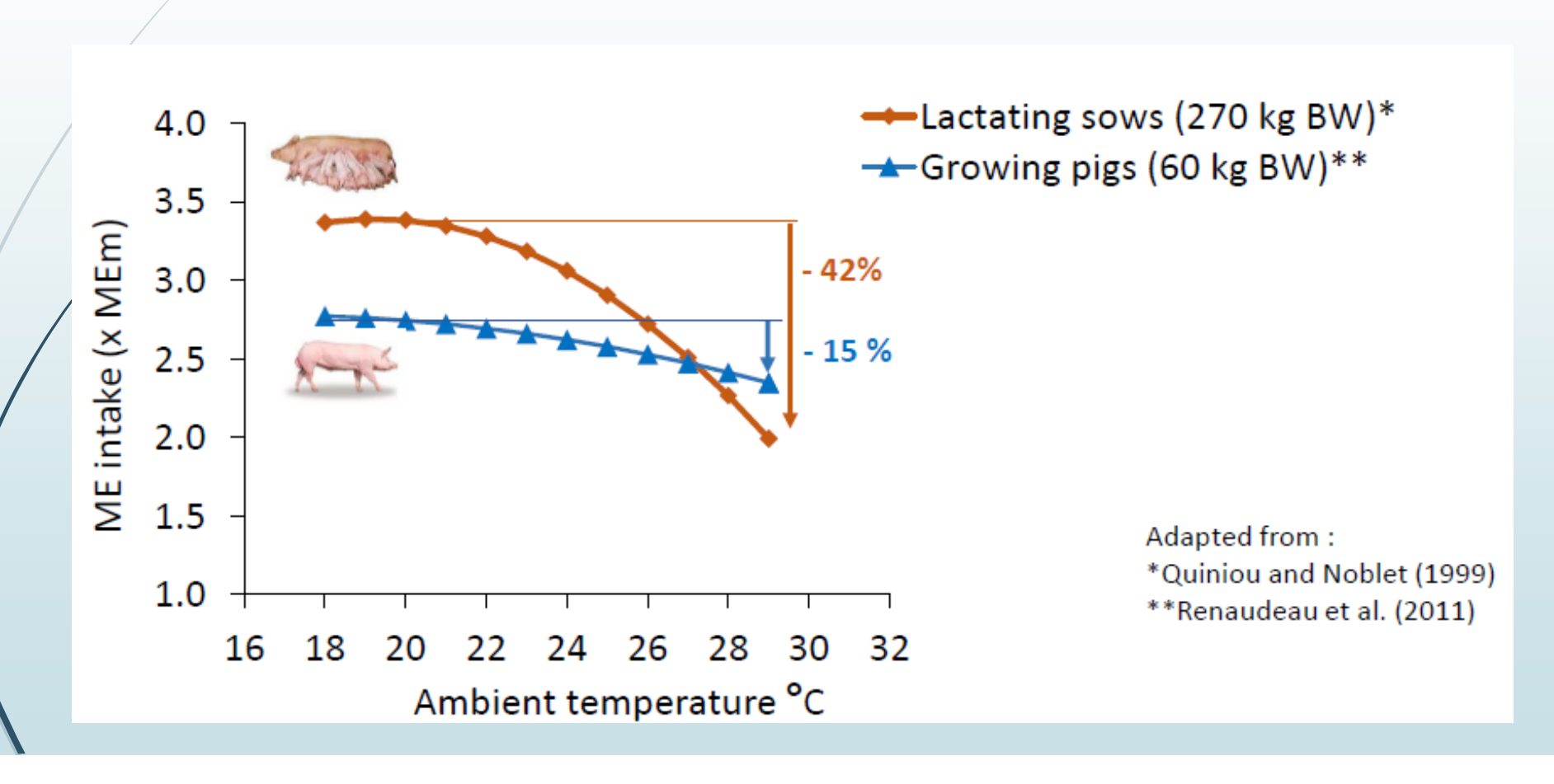
Adaptado de Gürbüz Daş et al., 2014

Redução da Produção de Leite

| Temperatura (° C) | Produção de Leite (kg/d) | % Redução | Fonte |
|-------------------|-----------------------------|-----------|------------------------------|
| 18 29 | 7,5 6,2 | 18 | Quiniou & Noblet (1999) |
| 18 29 | 8,3 6,1 | 26 | Quiniou et al (2000) |
| 20 29 | 10,4 7,3 | 30 | Renaudeau & Noblet (2001) |
| 26 36 | 9,5 7,3 | 23 | Silva et al. (2009) |
| 23 35 | 12,6 10,6 | 19 | Silva et al. (2021) |

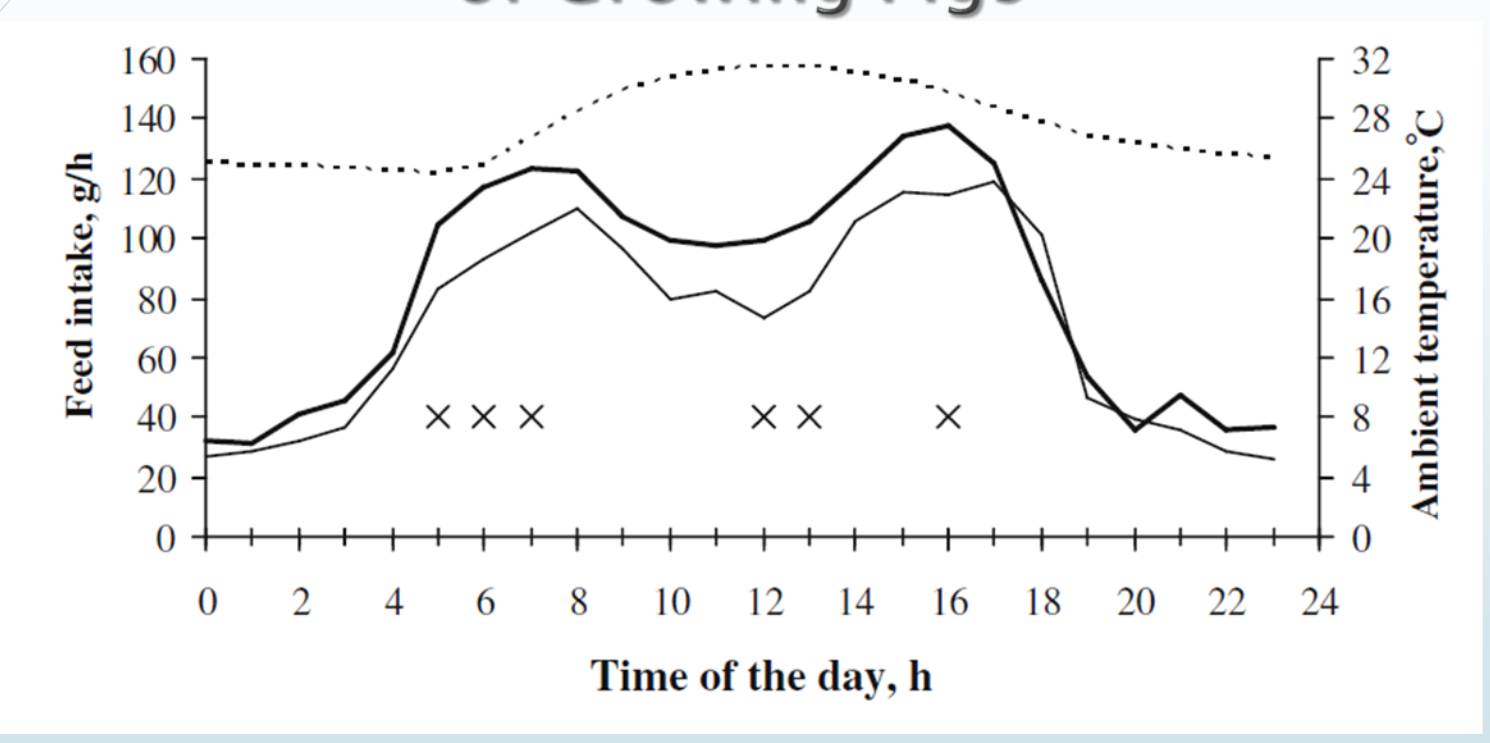


↓ Consumo Voluntário Mecanismo eficaz para reduzir a produção de calor: ↓ Efeito Térmico do Alimento (TEF)





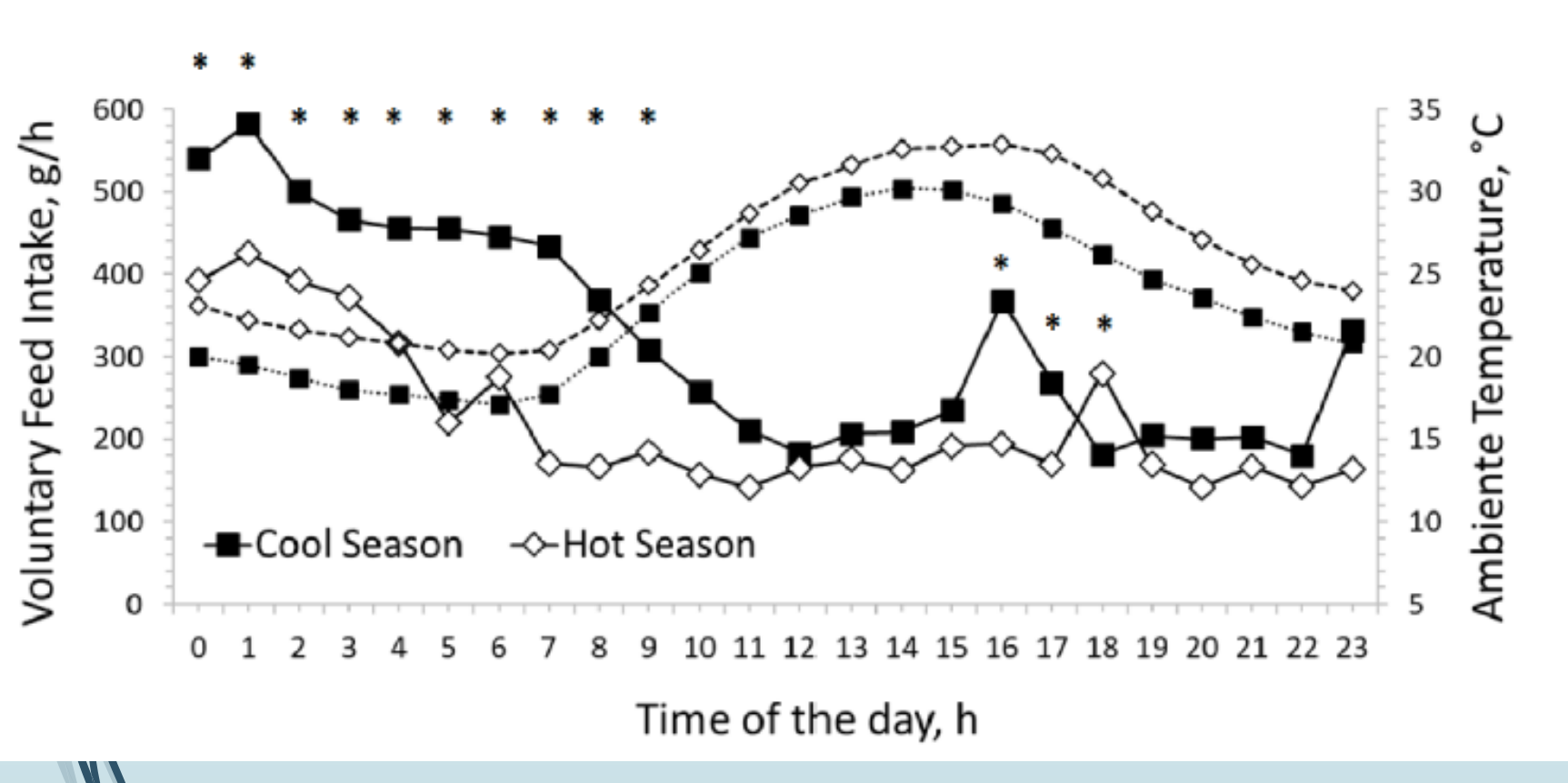
Effect of Climate on Daily Feed Intake Kinetics of Growing Pigs



Adapted form Renaudeau et al. (2009)



Efeito da estação e hora do dia sobre o consumo diário de porcas lactantes



Verão

Av. Temp. 27,06°C Av. RU 70% AVFI 4,73 kg/d 75% consumo 00:00 – 07:00 h

Inverno

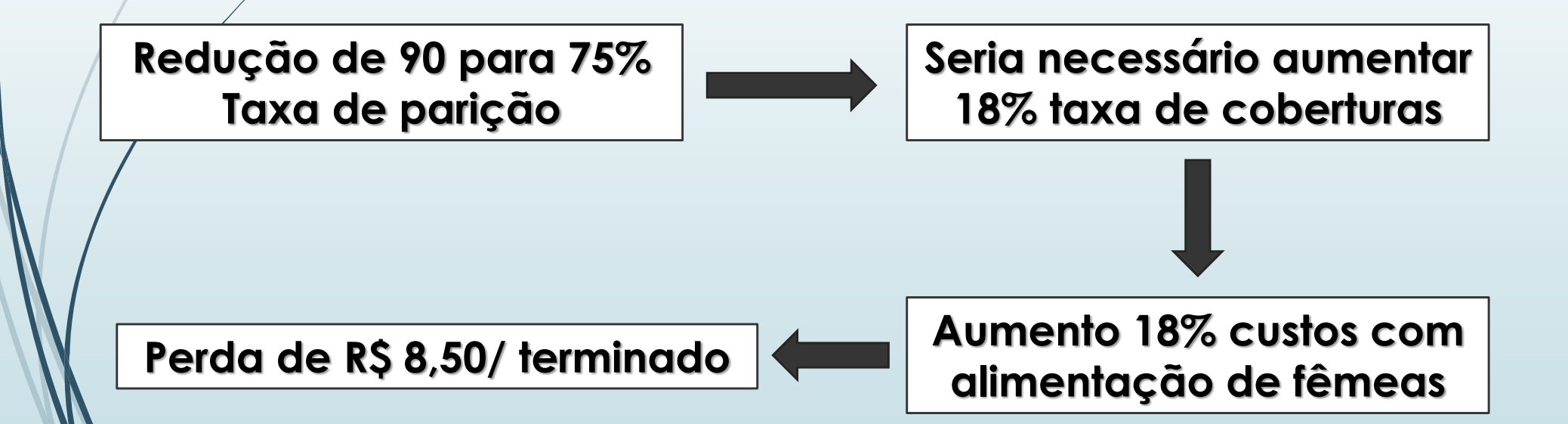
Av. Temp. 23,05°C Av. RU 56% AVFI 6,97 kg/d 81% consumo 00:00 – 10:00 h

Silva et al. (2021)



Impactos econômicos do estresse por calor na industria de produção suínos

- Primeiro Impacto: Falhas reprodutivas e mortalidade de fêmeas
- Mais fêmeas serão necessárias para manter a mesma produtividade de abate!!

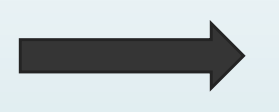




Impactos econômicos do estresse por calor na industria de produção suínos

- Segundo Impacto: Porcas gestantes e lactantes durante o período de calor
- ► Impacto sobre o desempenho da progênie!

Redução de 16 – 24% no peso médio ao nascimento



Impacto de até R\$ 13,35/ terminado



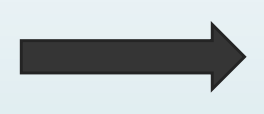
Menor taxa de crescimento, menor deposição muscular, mais tempo para chegar ao abate; Penalizações por qualidade de carcaça, maior taxa de mortalidade



Impactos econômicos do estresse por calor na industria de produção suínos

- Terceiro Impacto: Desempenho de engorda
- ► Impacto sobre o desempenho nas fase crescimento e engorda final!

Redução de 8% no consumo e taxa de crescimento



Redução de até 5 kg no peso de carcaça no período

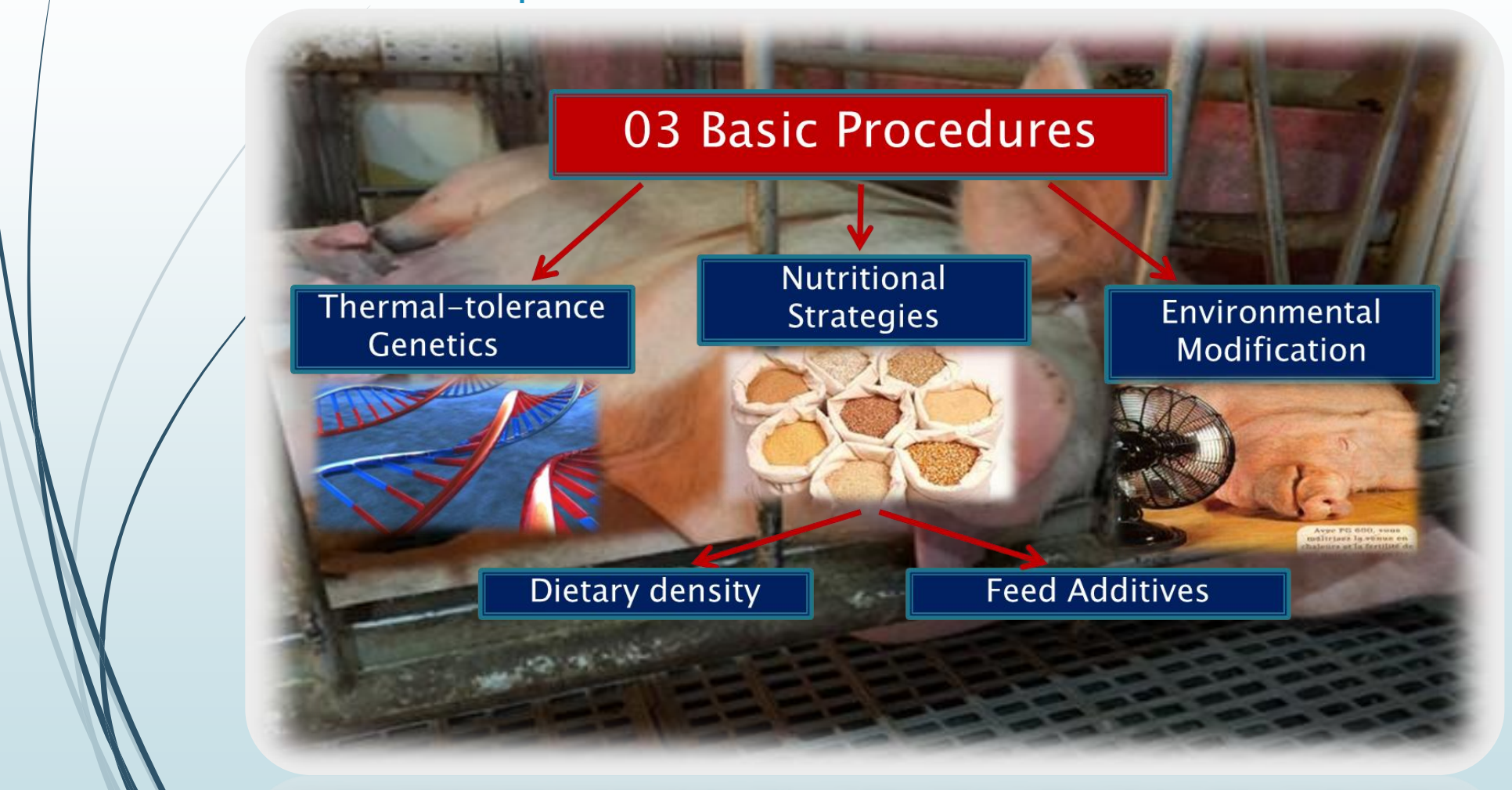
Perda Acumulada Anual no Brasil R\$ 68,85/ terminado Abate de 29,186 milhões suínos (Primavera/Verão 2024) ± R\$ 2.009.456.000,00



Perda de até R\$ 47,00/ terminado



O que podemos fazer para mitigar os impactos do estresse por calor sobre os suínos?





Uso da genética como ferramenta

PLOS ONE

RESEARCH ARTICLE

Genetic selection modulates feeding behavior of group-housed pigs exposed to daily cyclic high ambient temperatures

Alícia Zem Fragao^{1,2}, Luciano Hauschild¹, Paulo Henrique Reis Furtado Camposo³, Marcio Valko⁴, Débora Zava Bello⁴, Marcos Kipper⁵, Ines Andrettao⁵*

- 1 Department of Animal Science, School of Agricultural and Veterinarian Sciences, São Paulo State University, Jaboticabal, São Paulo, Brazil, 2 PEGASE, INRAE, Institut Agro, Saint Gilles, France,
- 3 Department of Animal Science, Universidade Federal de Viçosa, Viçosa, Minas Gerais, Brazil,
- 4 Department of Statistics, Universidade Federal do Rio Grande do Sul, Porto Alegre, Rio Grande do Sul, Brazil, 5 Department of Animal Science, Universidade Federal do Rio Grande do Sul, Porto Alegre, Rio Grande do Sul, Brazil



Adapted from Fraga et al. (2022)

| Periods | 22°C(06-10h) | | p-value4 | 30°C(10-18h) | | p-value5 | 22°C(18-06h) | | p-value6 |
|----------------------------|--------------|--------------|----------|--------------|--------------|----------|--------------|-------------|----------|
| Genetic Lines ³ | A | В | A vs B | A | В | A vs B | A | В | A vs B |
| Number of animals | 39 | 39 | | 39 | 39 | | 39 | 39 | |
| Growing phase 1 (21 days) | | | | | | | | | |
| Number of meals, n/pig | 0.21* (0.02) | 0.34" (0.03) | < 0.01 | 0.23 (0.02) | 0.29* (0.02) | 0.85 | 0.15 (0.01) | 0.19 (0.05) | 0.98 |
| Growing phase 2 (28 days) | | | | | | | | | |
| Number of meals, n/pig | 0.32* (0.01) | 0.57" (0.01) | < 0.01 | 0.31 (0.03) | 0.42" (0.05) | < 0.01 | 0.25 (0.02) | 0.26 (0.01) | 0.99 |
| Finishing phase (35 days) | | | | | | | | | |
| Number of meals, n/pig | 0.35 (0.01) | 0.55 (0.02) | < 0.01 | 0.30 (0.03) | 0.44 (0.01) | < 0.01 | 0.24 (0.01) | 0.21 (0.05) | 0.99 |
| Total period (84 days) | | | | | | | | | |
| Number of meals, n/pig | 0.29 (0.02) | 0.49 (0.02) | < 0.01 | 0.28 (0.01) | 0.38 (0.02) | < 0.01 | 0.21 (0.01) | 0.22 (0.01) | 0.99 |

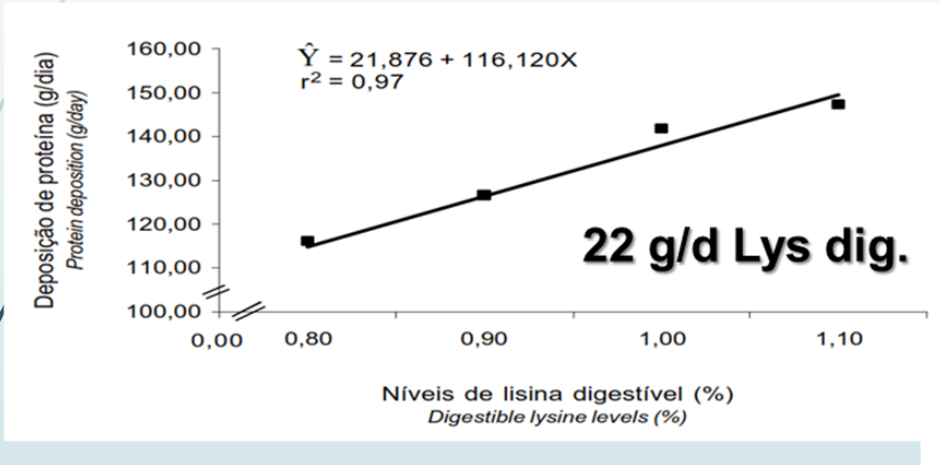


^{*} ines.andretta@ufrgs.br



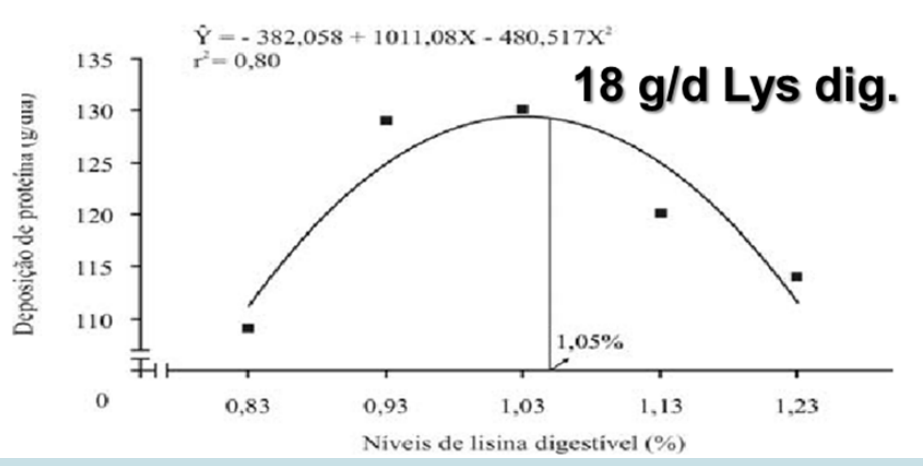
Uso da nutrição como ferramenta

Effects of temperature on lysine requirements and protein deposition in pigs from 30 to 60 kg



Thermoneutral 22 °C; Abreu et al. (2007)

Heat stress 32 °C; Batista et al. (2011)





Redução do Nível de Proteína Bruta

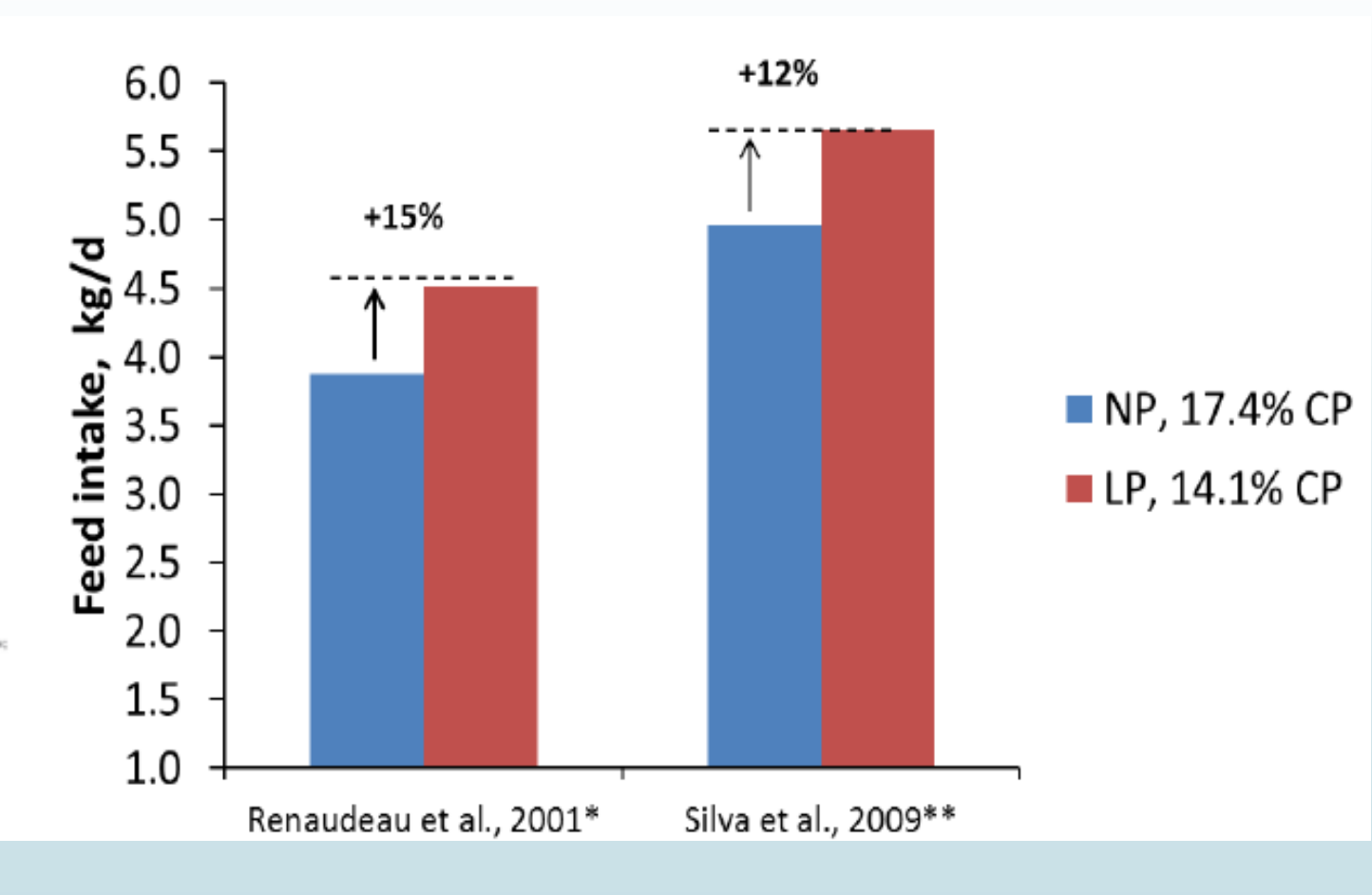
Effects of exposure to high ambient temperature and dietary protein level on performance of multiparous lactating sows¹

D. Renaudeau*, N. Quiniou†, and J. Noblet*2

Effects of dietary protein level and amino acid supplementation on performance of mixed-parity lactating sows in a tropical humid climate¹

B. A. N. Silva,*† J. Noblet,‡ J. L. Donzele,† R. F. M. Oliveira,† Y. Primot,§ J. L. Gourdine,* and D. Renaudeau*2

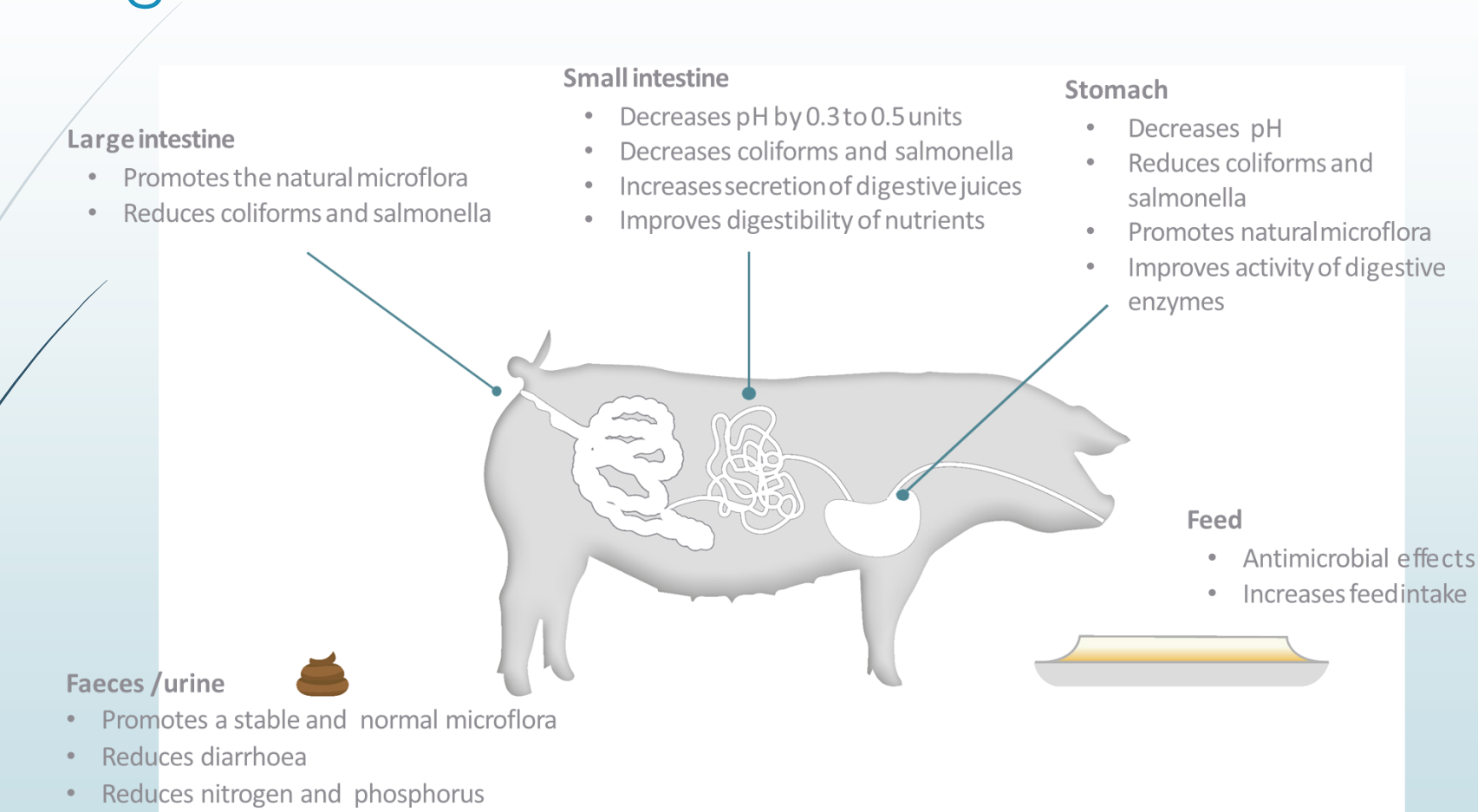
*INRA, Unité de Rechevches Zootechniques INRA UR143, 97170 Petit Bourg, Guadeloupe, French West Indies; †Animal Science Department/Departamento de Zootecnia, Universidade Federal de Viçosa (UFV), 39571-000 Viçosa, MG, Beazit, †INRA, UMR Systèmes d'Elevage, Nutrition Animale et Humaine INRA UMR 1079, 35290 St-Gilles, France; and [Ajimomoto Eurolysine SAS 153, rue de Concolles, 75817 Paris Cedex 17, France





Melhorando a Saúde Intestinal e a Digestibilidade durante o verão

excretion





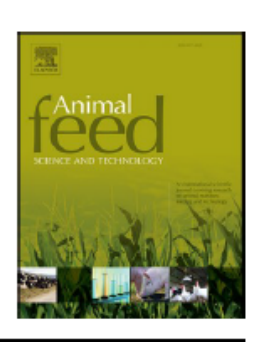
Animal Feed Science and Technology 272 (2021) 114785

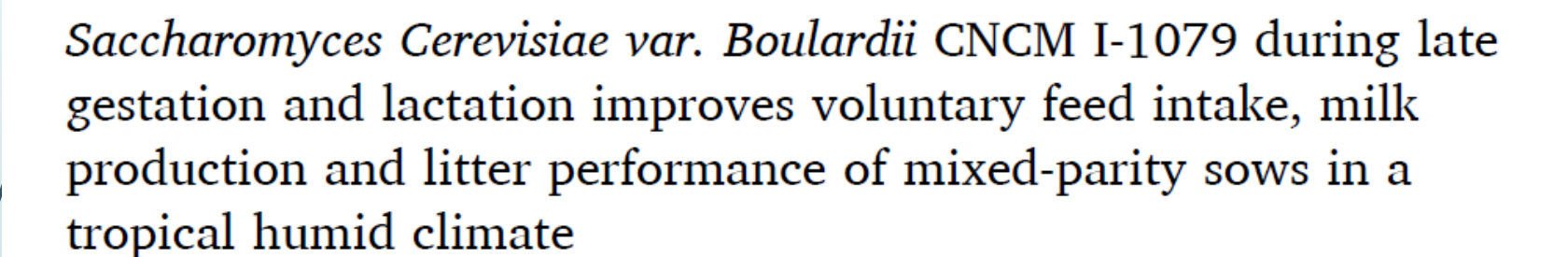


Contents lists available at ScienceDirect

Animal Feed Science and Technology





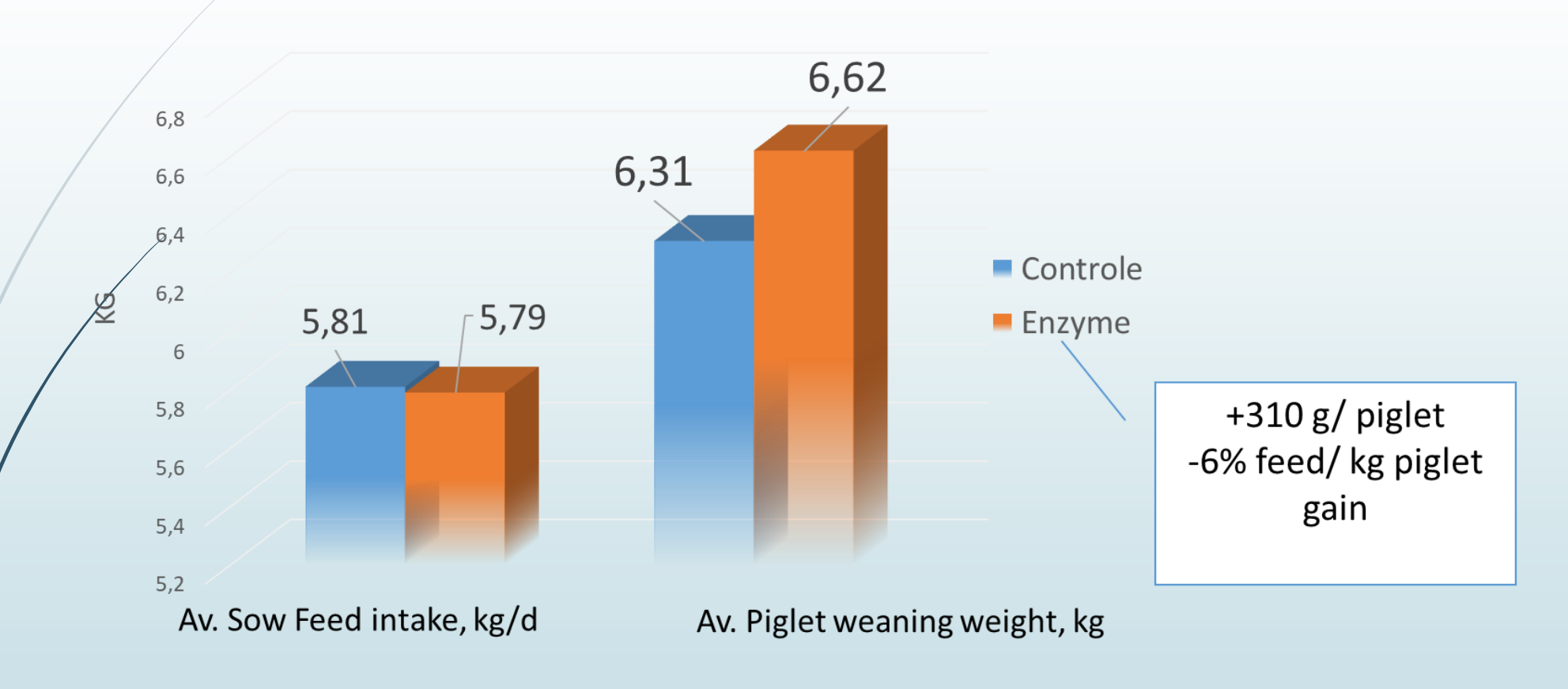




- R.L. Domingos ^a, B.A.N. Silva ^b, *, F. Bravo de Laguna ^c, W.A.G. Araujo ^d, M.
- F. Gonçalves^b, F.I.G. Rebordões^b, R.P. Evangelista^b, T.C.C. de Alkmim^b, H.A.
- F. Miranda^b, H.M.C. Cardoso^b, L.A. Cardoso^b, S.R. Habit^b, S.A.B. da Motta^b



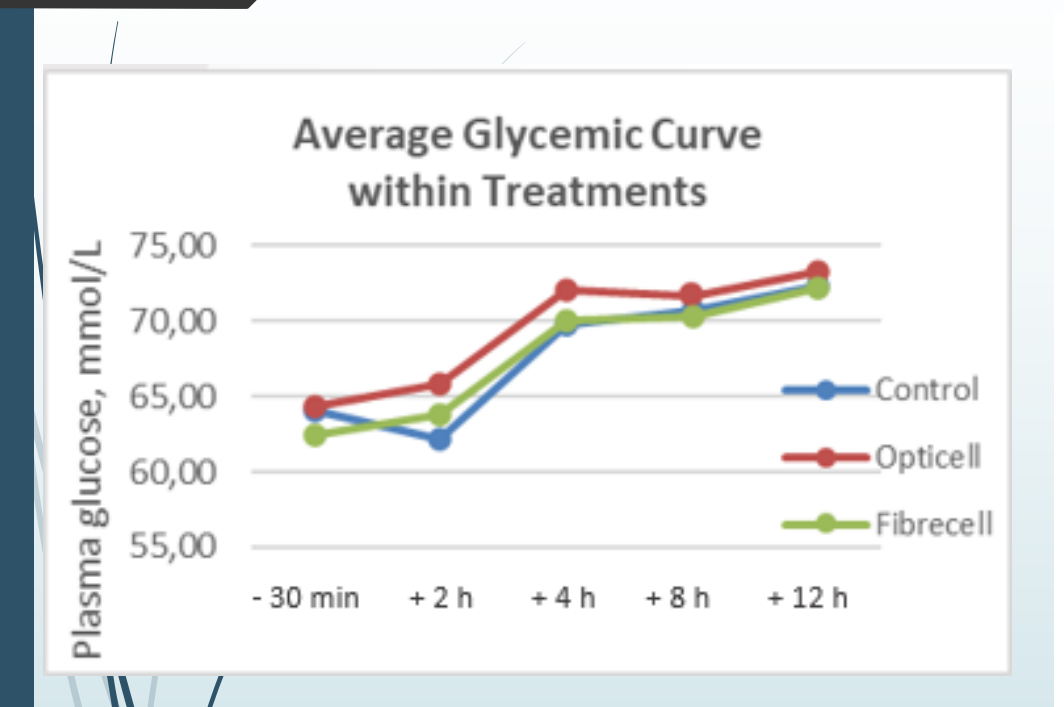
Uso de enzimas (carboidrases) durante a lactação no verão



Adapted from Ataíde et al. (2022/ UFMG)



Efeito do uso de fibras eubióticas sobre glicemia e modulação de microbiota no verão





| em | |
|---|------|
| emperature, °C | |
| linimal | 22,2 |
| laximal | 31,0 |
| lean | • |
| mplitude | 26,6 |
| elative humidity, % Inimal | 8,8 |
| laximal | |
| Mean | 73,0 |
| mplitude | 97,0 |
| | 84,0 |
| ays of exposure to >26 °C, $%$ ays of exposure to >30 °C, $%$ | 24,0 |
| or caposure to >30 °C 0/ | 97,0 |

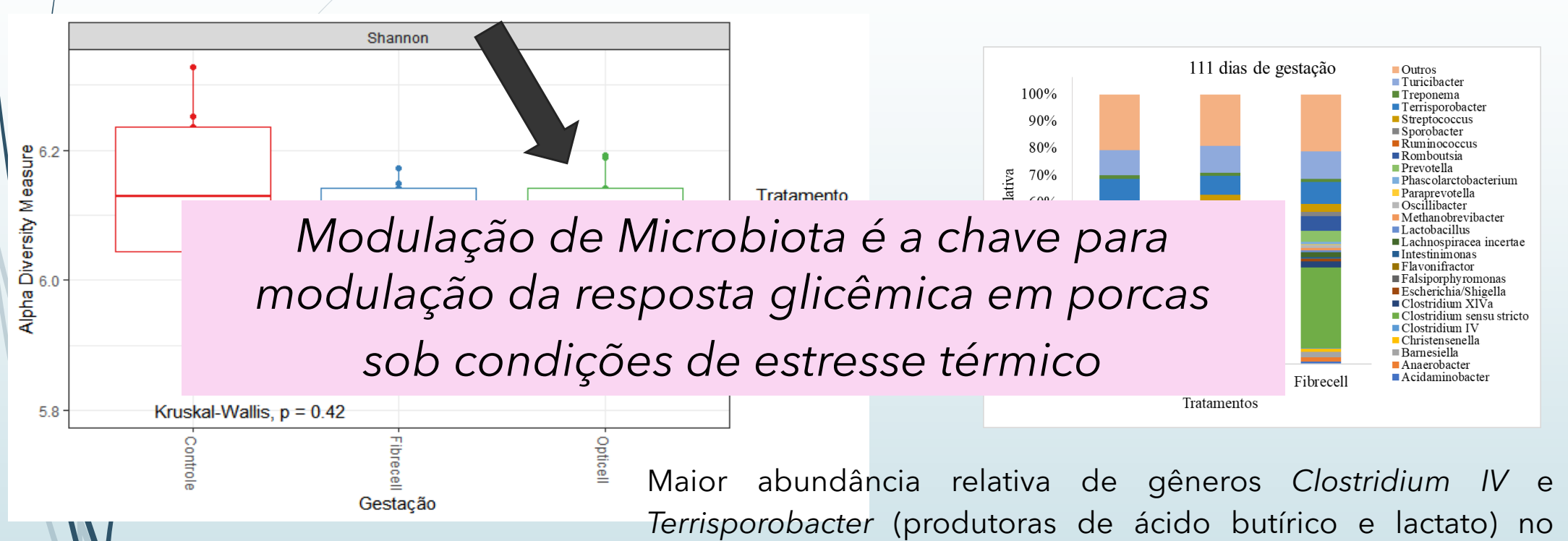
64,0

O uso de fibras eubióticas nas dietas de gestação e lactação glicêmicos médios mais elevados ao longo do períod Especialmente no período lactacional o efeito foi mais

Adaptado de Fernandes et al. (2022) – UFMG/ UFLA



Efeito do uso de fibras eubióticas sobre a a-diversidade da microbiota no verão

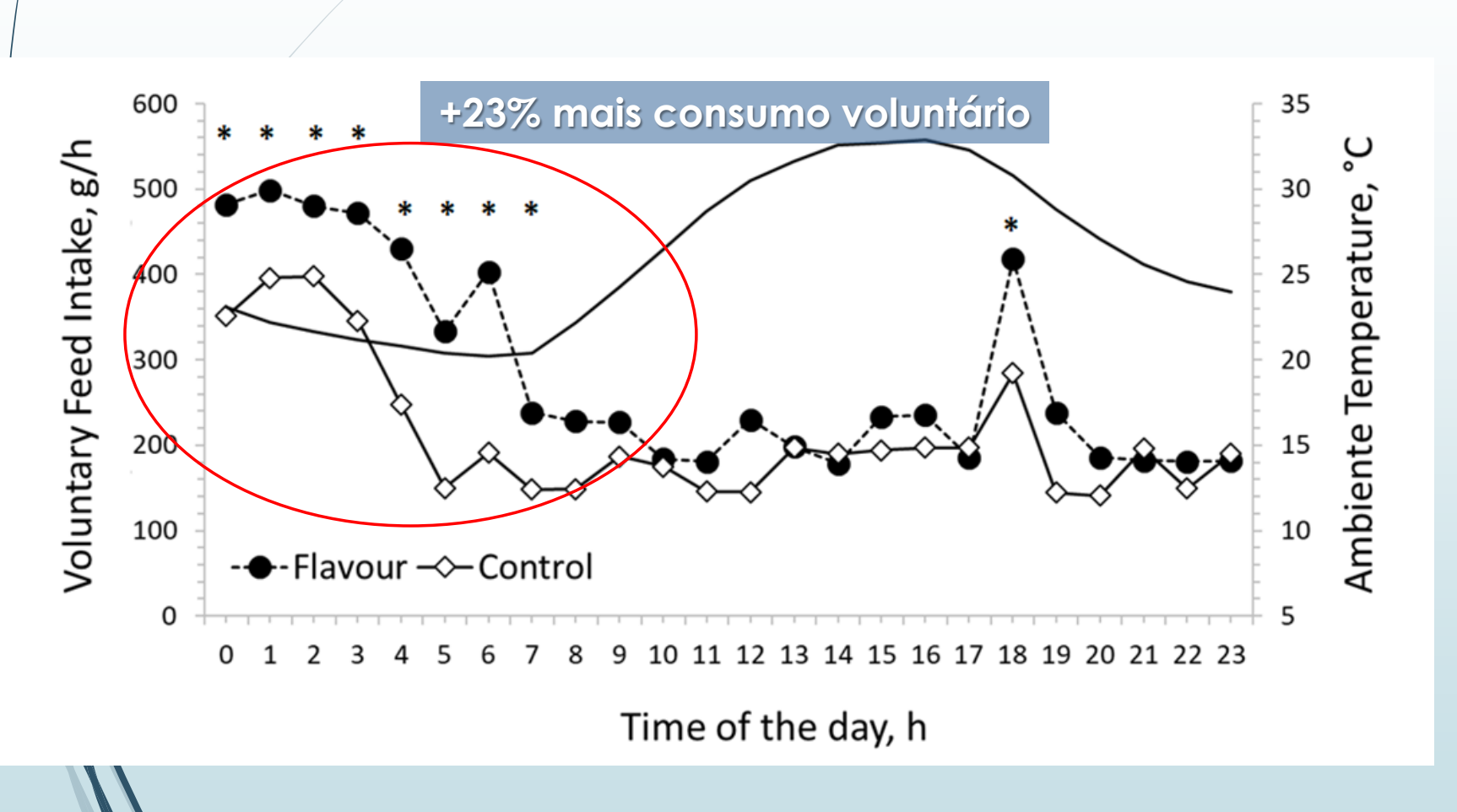


tratamento Opticell (P < 0,10)

Adaptado de Fernandes et al. (2022) – UFMG/ UFLA



Uso de aditivos sensoriais



Temp. Max. 35,16°C Temp. Min. 19,05°C RH Max. 94% RH Min. 35%

Controle ADFI 4,78 kg/d 76% Consumo 00:00 – 09:00 h

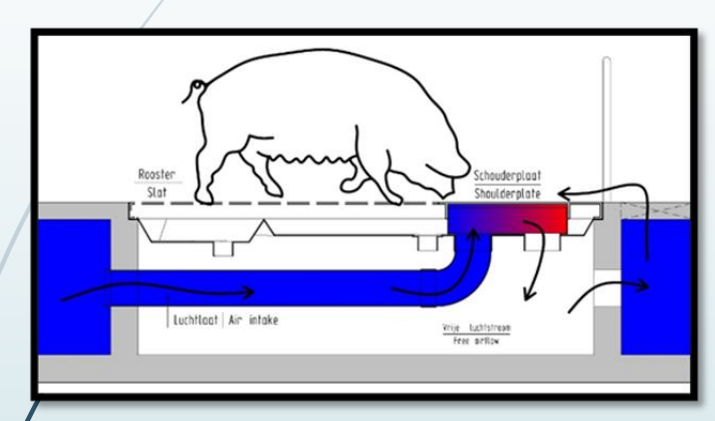
Palatabilizante ADFI 5,91 kg/d 87% Consumo 00:00 – 09:00 h

Silva et al. (2021)



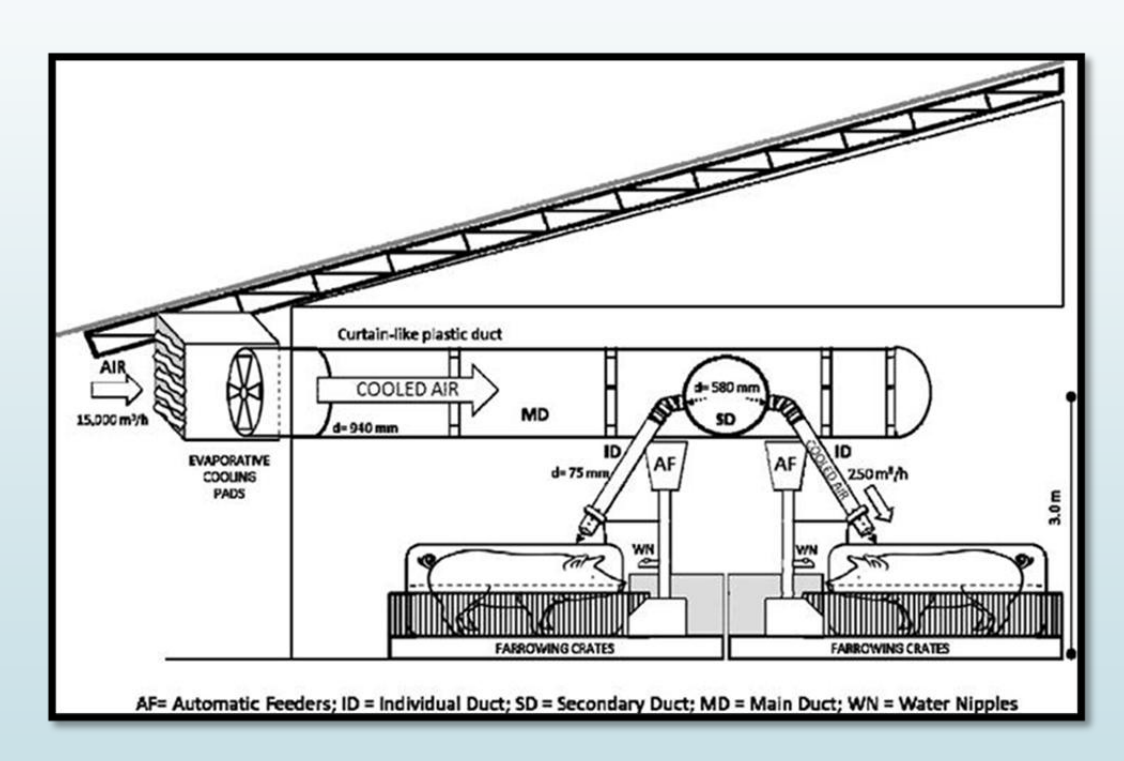
Modificações ambientais

Forced Ventilation



Adapted from Jovas Agro International bv

Improvements ranging from 5 - 7% in sow and litter performance



Adapted from Perin et al. (2015)



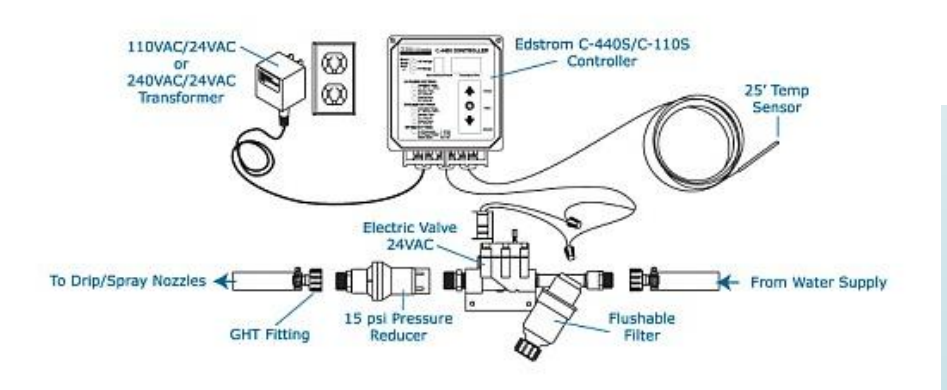
Drip-cooling ou Spray-Cooling

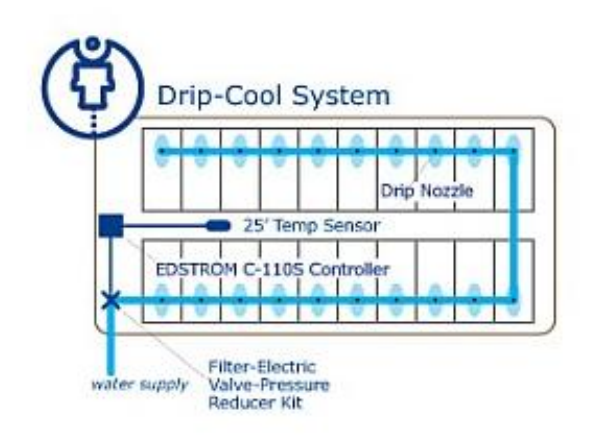
Typical Installation for Swine Cooling

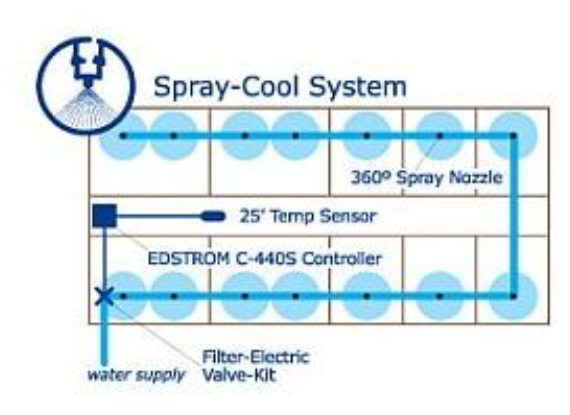
Normal recommendations are to wet the animals for a short period of time, 0.5 to 3.0 minutes, to wet the skin. After the Shower or Dripper shuts off, the water is evaporated from the pigs by the normal ventilation system in the facility. The evaporation (Interval Time) cycle is normally set for a period of 5.0 to 10.0 minutes, before the wetting cycle is repeated.

Spray-Cool Systems are designed for use in swine finishing units or group gestation buildings, where the animal has the opportunity to get showered if desired. A Drip-Cool System is used in a farrowing room or crated gestation facilities, where it is important to direct the water onto the individual sow while avoiding excess moisture in the surrounding area.



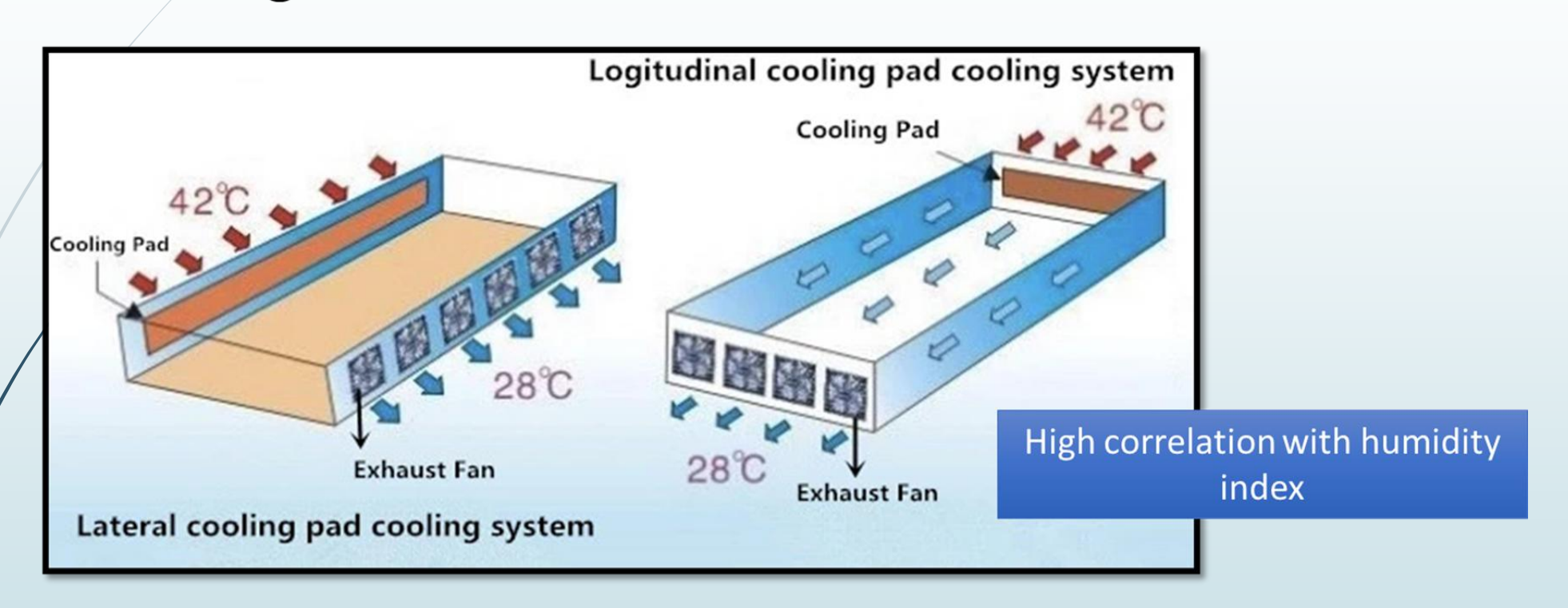








Evaporative Cooling Systems Cooling Pads and ventilation tunnels





Ventilação Forçada x Resfriamento Evaporativo

Quadro 2. Consumo médio semanal de água por porca, segundo os tratamentos, Sem Sistema de Acondicionamento Térmico (SSAT), Sistema de Ventilação Forçada (SVF) e Sistema de Resfriamento Adiabático Evaporativo (SRAE)

| Tratamento | Consumo de Água (Litros | |
|------------|-------------------------|--|
| SSR | 101,20 a | |
| → SVF | 93,59 a | |
| → SRAE | 82,80 b | |

Quadro 4. Ganho de peso médio por leitão por semana, segundo os tratamentos Sem Sistema de Acondicionamento Térmico (SSAT), Sistema de Ventilação Forçada

(SVF) e Sistema de Resfriamento Adiabático Evaporativo (SRAE)

| Tratamentos | Ganho de Peso (Kg) |
|-------------|--------------------|
| SSR | 1,44 a |
| → SVF | 1,62 b |
| → SRAE | 1,79 c |

Médias seguidas por letras iguais não diferem estatisticamente pelo teste de Tukey (P>0,05).

Adaptado de Teixeira et al. (2004)



Ventilação Forçada x Resfriamento Evaporativo

TABELA 1. Médias de temperatura de bulbo seco (TBS) nos tratamentos.

| Tratamentos | Médias de TBS (°C) | Desvio-Padrão das Médias |
|------------------------|--------------------|--------------------------|
| Ventilação natural | 24,9 a | 0,068 |
| Ventilação refrigerada | 24,3 b | 0,042 |
| Ventilação forçada | 24,8 a | 0,088 |

Letras diferentes representam diferenças significativas (P < 0,05), pelo teste de Tukey.

TABELA 2. Médias de umidade relativa nos tratamentos.

| Tratamentos | Médias de Umidade Relativa (%) | Desvio-Padrão das Médias |
|--|--------------------------------|--------------------------|
| Ventilação natural | 75,06 c | 0,302 |
| Ventilação refrigerada | 92,54 a | 0,139 |
| Ventilação forçada | 76,10 b | 0,336 |

Letras diferentes representam diferenças significativas (P < 0,05), pelo teste de Tukey.



Ventilação Forçada x Resfriamento Evaporativo

TABELA 5. Médias do número de leitões desmamados nos tratamentos.

| Fatores | Fatores Médias | |
|------------------------|----------------|--------|
| | Sistemas | |
| Ventilação natural | 9,34 a | 0,1618 |
| Ventilação refrigerada | 8,81 a | 0,1743 |
| Ventilação forçada | 9,18 a | 0,2208 |

Letras diferentes representam diferenças significativas (P < 0,05), pelo teste de Tukey.

TABELA 6. Médias de ganho de peso médio nos tratamentos.

| Fatores | Médias (g dia ⁻¹) | Desvio-Padrão |
|--------------------------|-------------------------------|---------------|
| | Sistemas | |
| Ventilação natural | 289,5 a | 4,304 |
| → Ventilação refrigerada | 298,2 a | 4,636 |
| Ventilação forçada | 284,6 a | 5,872 |

Adaptado de Yamilia et al. (2005)



Ventilação Forçada x Nebulização

Tabela 2 - Desempenho produtivo de matrizes e das leitegadas durante a lactação em função de mudanças nas condições ambientais nas salas de parição

Table 2 - Productive perfomance of matrices and their piglets during the lactation according to the environment changes in the maternity room

| Variáveis / variables | Tratan | Tratamentos* Treatments* | | |
|--|--------------------|--------------------------|---------|--------|
| mineral stational information of state of the contract of the | T1 | T2 | T3 | 102.5 |
| Consumo médio diário de ração, kg/matriz/dia ** Average daily comsumption of ration, kg/matrice/day | 5,30 B | 6,80 A | 5,60 B | 13,29 |
| Perda de peso da matriz, kg Weight loss of the matrice, kg | - 8,00 A | -3,40 A | -2,60 A | 344,47 |
| Temperatura retal média da matriz, °C Average rétal temperature of the matrice, °C | 38,90 A | 38,90 A | 38,90 ^ | 0,92 |
| Número de leitões nascidos vivos Number of alive suckling pigs | 10,75 ^ | 11,25 A | 11,00 ^ | 17,00 |
| Peso da leitegada ao nascer, kg Weight of the piglets after birth, kg | 16,55 ^ | 18,00 A | 17,50 ^ | 9,38 |
| Peso médio/leitão ao nascer, kg Average weight/suckling pig after birth, kg | 1,54 ^A | 1,60 A | 1,59 ^ | 9,50 |
| Peso da leitegada ao desmame, kg Piglets weight in wean, kg | 57,62 ^A | 65,00 A | 59,75 ^ | 15,95 |
| Ganho de peso da leitegada ao desmame, g/dia Weight gain of the piglets in wean, g/day | 1.952 ^ | 2.380 A | 2.012 A | 19,64 |

^{*} T1 - Ventilação natural - controle (natural ventilation - control); T2-Ventilação forçada (forced ventilation);

T3 - Nebulização associada à ventilação forçada (misting system associated with the forced ventilation).

^{** -} Significativo pelo teste de Tukey (P<0,05) (Significant per Tukey test (P<0.05).

C.V. - Coeficiente de variação (coefficient of variation).

Ventilação Natural x Resfriamento Evaporativo



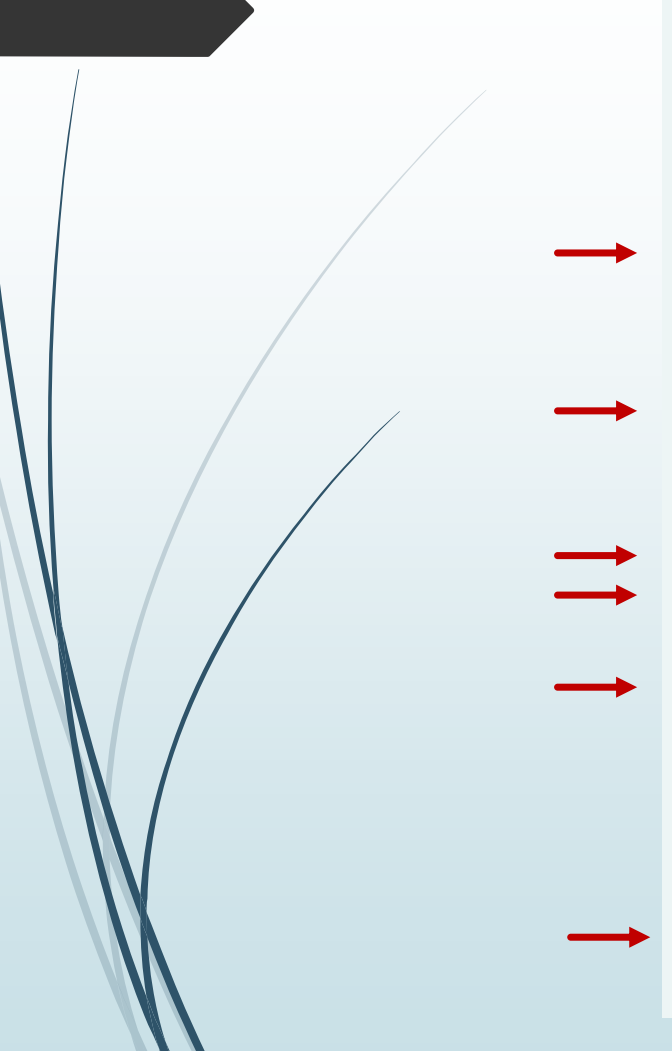


TABELA 1 | Desempenho das matrizes e suas leitegadas em função do ambiente

| Variáveis | Ambientes | | CV, % | Valor P | | |
|--|----------------|--------------------|---------|---------|--|--|
| Variavois | Controle | Resfriamento do ar | O V, 70 | valut 1 | | |
| Matrizes, nº | 47 | 51 | - | - | | |
| Ordem de partos | $5,3\pm2,02$ | 4,9±1,27 | - | - | | |
| Lactação, dias | $20,96\pm0,20$ | 21,30±0,67 | - | - | | |
| Consumo de ração diário, kg* | 4,56 | 5,71 | 15,25 | < 0,001 | | |
| Peso, kg | | | | | | |
| 24hs pós-parto | 269,61 | 260,37 | 9,75 | 0,259 | | |
| Ao desmame | 251,89 | 260,44 | 10,67 | 0,142 | | |
| Variação de peso da matriz | | | | | | |
| Kg* | -17,71 | 0,08 | 13,57 | < 0,001 | | |
| %* | -6,68 | 0,14 | 14,10 | < 0,001 | | |
| Número de leitões | | | | | | |
| 24hs pós-parto | 11,25 | 11,20 | 9,68 | 0,724 | | |
| Ao desmame | 10,13 | 9,92 | 13,46 | 0,582 | | |
| Mortalidade, % | 9,95 | 11,43 | 10,11 | 0,407 | | |
| Peso dos leitões, kg | | | | | | |
| 24hs pós-parto | 1,56 | 1,53 | 21,35 | 0,623 | | |
| Ao desmame* | 5,43 | 6,10 | 14,16 | < 0,001 | | |
| Peso da leitegada, kg | | | | | | |
| 24hs pós-parto, kg | 17,55 | 17,10 | 22,90 | 0,909 | | |
| Ao desmame, kg* | 55,01 | 60,39 | 20,56 | 0,014 | | |
| Ganho de peso diário | | | | | | |
| Leitão, g* | 184 | 215 | 21,00 | < 0,001 | | |
| Leitegada, kg* | 1,78 | 2,03 | 25,56 | 0,014 | | |
| Produção estimada de leite diária, kg* | 7,98 | 9,20 | 22,41 | 0,031 | | |
| NEGLica caba carbinates diferent singuistanti carboni (D. 0.005) | | | | | | |

*Médias entre ambientes diferem significativamente entre si (P<0,05).

Adaptado de Kiefer et al. (2012)



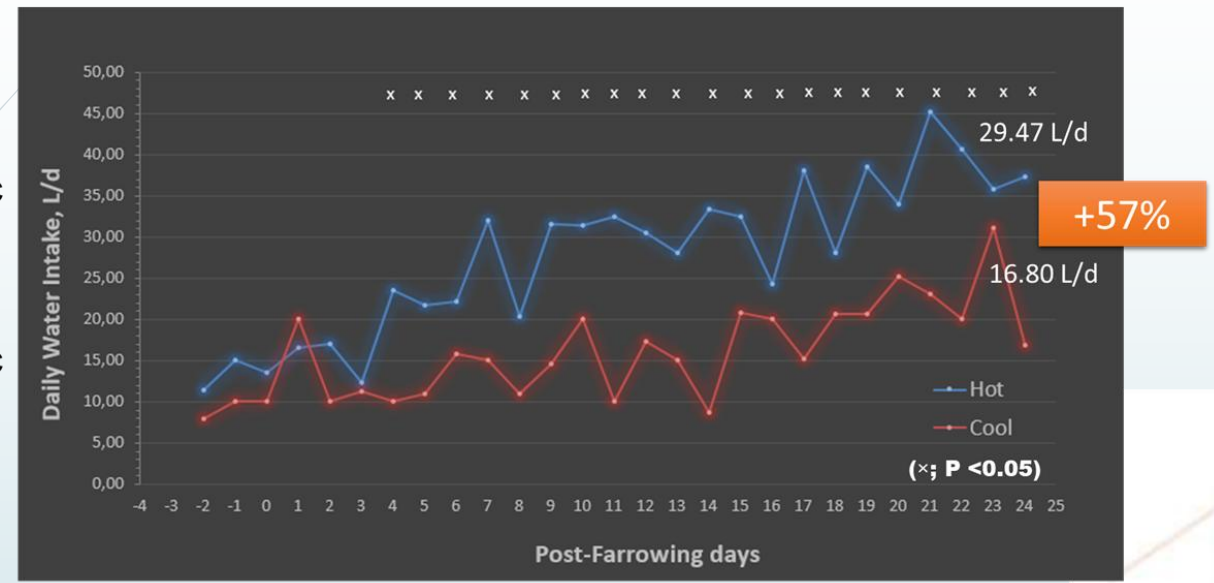
Effect of Climate on Sow Daily Water Intake during Lactation

Summer (Hot)

Av. Temp. 27,06°C Av. RH 70%

Winter (Cool)

Av. Temp. 23,05°C Av. RH 56%



O uso de resfriamento da água de beber (18°C) melhorou o consumo voluntário de ração em 1,1 kg/d em porcas lactantes

NEPSUI (2019/2020; Own data)

Research, Society and Development, v. 10, n. 4, e49810414229, 2021 (CC BY 4.0) | ISSN 2525-3409 | DOI: http://dx.doi.org/10.33448/rsd-v10i4.14229

Diagnóstico e adequações do sistema de resfriamento da água de beber para fêmeas suínas em lactação e gestação visando melhorias nos índices produtivos

Diagnosis and adaptations of the drinking water cooling system for lactating and gestating swine females with a view to improving production rates



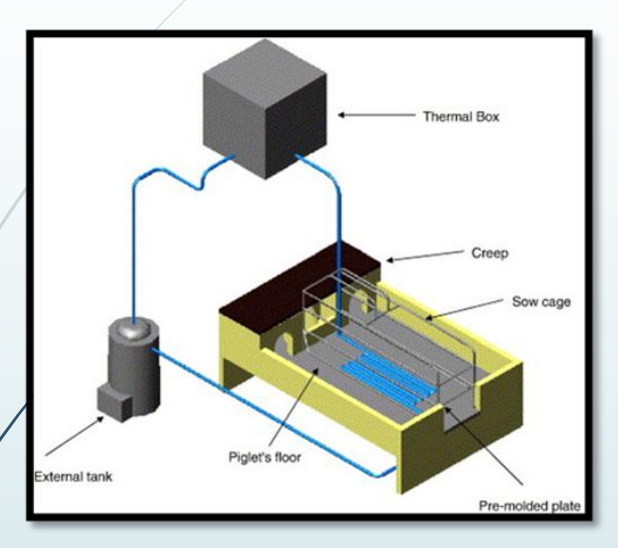
Effect of drinking water cooling on the performance of lactating sows during the summer

| Variable | Water temperature | | |
|--|------------------------|------------------|--------|
| variable | 22° C | 15°C | 10° C |
| Sow performance | | | |
| N° | 30 | 30 | 30 |
| Av. daily feed intake (kg/d) | 3,82 ^b | 5,36ª | 5,29ª |
| Water intake (L/d) | 31,21 ^b | 38,06ª | 38,08ª |
| Milk production (kg/d) | 5,83 ^b | 7,12ª | 6,90ª |
| Respiratory frequency (mov/min) Improvement of | | f | |
| Rectal temperature (°C) | 22% in milk production | | |
| Piglet performance | | | |
| Piglet weaning weight (kg) | 5,60 ^b | 6,15ª | 6,05ª |
| Piglet daily gain (g) | 187 ^b | 214 ^a | 206ª |
| | | | |

Adapted from Jeon et al. (2006)

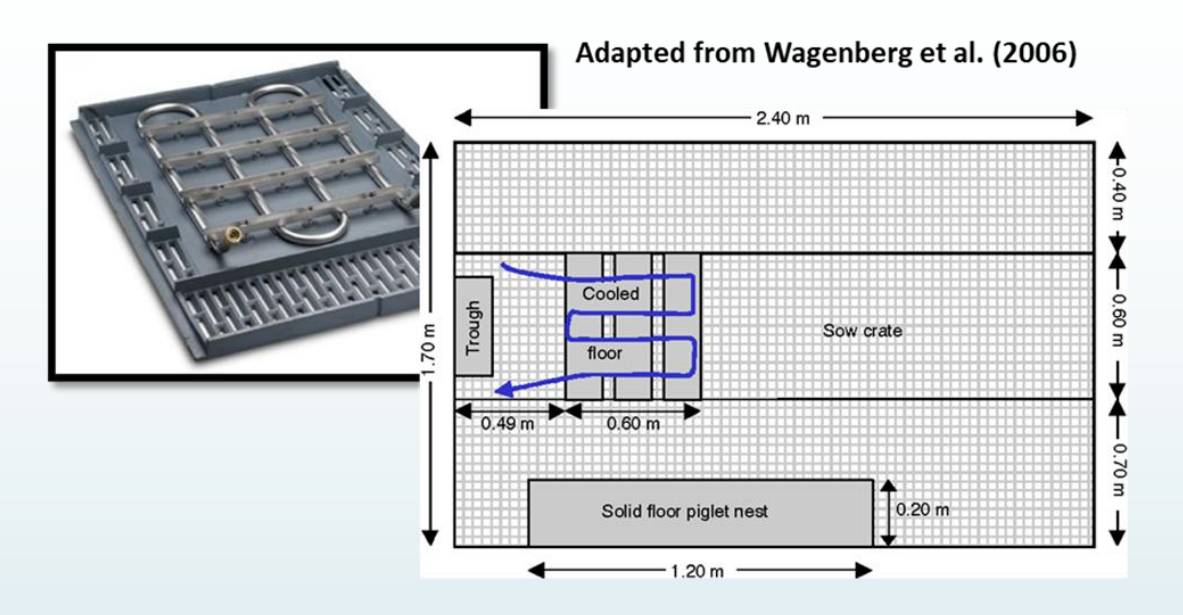


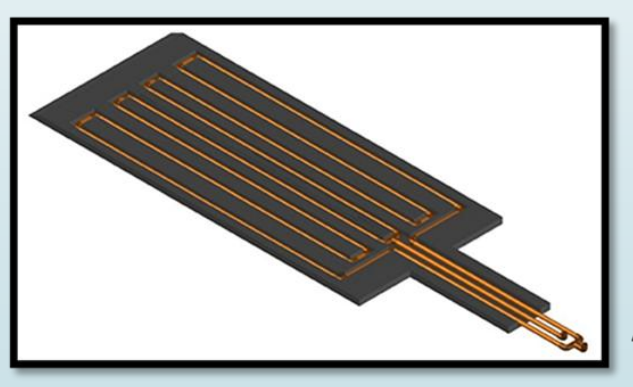
Floor Cooling



Adapted from Silva et al. (2005)

Improvements ranging from 5 – 22 % in sow and litter performance





Adapted from Cabezón et al. (2017)



Estudos pré-eliminares com sistema de "tampa" resfriada



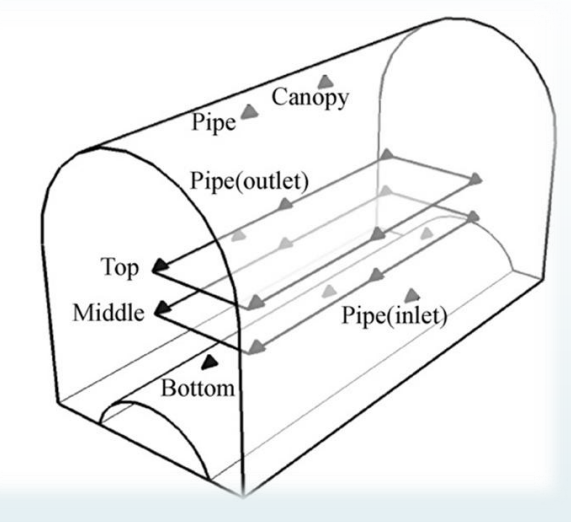


Table 4 – The average air temperature, inlet water temperature, BGT under the canopy (BGT), and the cooling potential of the triple-unit with 100 mm, 150 mm and 200 mm tube spacings with or without the simulated sow; each treatment lasted for 1 h (N = 60).

| Treatment | Pipe space, mm | Air temperature, °C | Inlet water temperature, °C | BGT, °C | Cooling potential, % ^a | | |
|--|----------------|----------------------------------|--------------------------------|----------------------------------|-----------------------------------|--|--|
| Without sow | 100 | 39.0 ± 0.0 | 16.2 ± 0.1 | 33.3 ± 0.3 | 25.1 ± 1.1 | | |
| | 150 | $\textbf{37.0} \pm \textbf{0.0}$ | 17.1 ± 0.8 | $\textbf{32.1} \pm \textbf{0.2}$ | 24.2 ± 1.0 | | |
| | 200 | $\textbf{37.1} \pm \textbf{0.1}$ | 15.7 ± 0.5 | 32.5 ± 0.3 | 21.6 ± 0.8 | | |
| With sow | 100 | $\textbf{37.0} \pm \textbf{0.0}$ | 17.2 ± 0.4 | 34.2 ± 0.4 | 14.0 ± 2.1 | | |
| | 150 | $\textbf{37.0} \pm \textbf{0.1}$ | 14.0 ± 0.0 | 34.1 ± 0.5 | $\textbf{13.5} \pm \textbf{2.4}$ | | |
| | 200 | 36.7 ± 0.3 | 15.0 ± 0.0 | 33.8 ± 0.3 | 13.1 ± 1.8 | | |
| a Cooling potential = (the indoor air DRT - the RGT within the canopy) / (the indoor air DRT - the cooling water temperature) × 100% | | | | | | | |

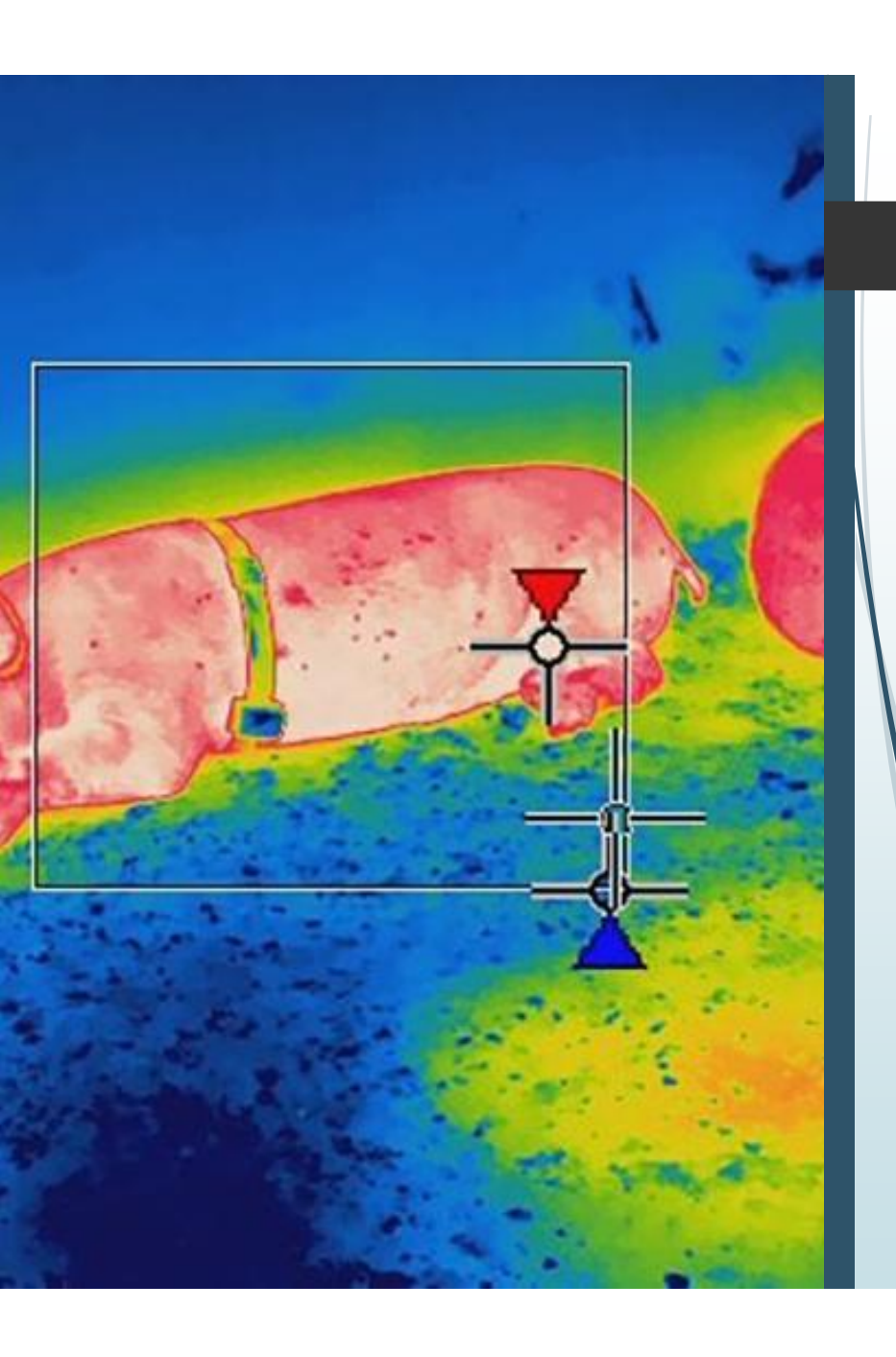
Adaptado de Pang et al. (2010)





Considerações Finais

- O aquecimento global e as mudanças climáticas são uma realidade que impactam em nossas vidas e em nossos sistemas de produção;
- Os indicadores nos mostram grandes desafios climáticos para os próximos anos;
- Não há mais tempo a perder com "Negacionismo climático", portanto vamos olhar para cima!!





Considerações Finais

- ✓ O estresse térmico afeta o metabolismo e a integridade intestinal;
- ✓ Compreender o comportamento alimentar como ferramenta de gestão;
- Adaptar as estratégias de alimentação para reduzir o TEF e/ou melhorar a palatabilidade e digestibilidade;
- ✓ Nutrientes funcionais e aditivos alimentares desempenham um papel importante na proteção do metabolismo e do intestino;
- ✓ Adaptações ambientais são essenciais e mais eficazes para melhorar o desempenho sob estresse térmico;

